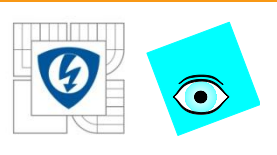


INVESTICE DO ROZVOJE VZDĚLÁVÁNÍ

Dynamika robotických systémů

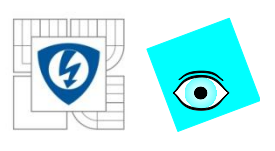
prof. Ing. Michael Valášek, DrSc.
ČVUT v Praze

Tato prezentace je spolufinancována Evropským sociálním fondem a státním rozpočtem České republiky.



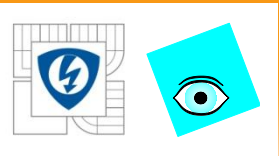
Obsah

- **Postup sestavování dynamického modelu**
- **Newton-Eulerovy pohybové rovnice**
- **Lagrangeovy rovnice smíšeného typu**
- **Metody integrace pohybových rovnic**
- **Ekvivalence Newton-Eulerových a Lagrangeových rovnic smíšeného typu**
- **Rekurzivní metody sestavování pohybových rovnic**
- **Fyzikální interpretace Lagrangeových multiplikátorů**
- **Pohybové rovnice soustavy poddajných těles**



Postup modelování robotických systémů

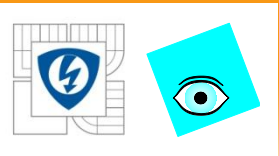
- Model je základ návrhu a systému řízení robota
- Modelování = vývojový proces mechanického modelu
- Mechanický model je dále transformován na matematický a/nebo simulační model pro další zkoumání (analýza, simulace, syntéza, návrh řízení, systém řízení, kalibrace, diagnostika atd.)
- Model = konceptuální model = fyzikální (mechanický) model = matematický model = simulační model
- Proces modelování je velmi náročný, protože
 - Užívá znalosti a zkušenosti mnoha vědních oborů
 - Nelze ho popsat úplným systémem teorémů a pravidel a systematickým postupem
 - Musí se naučit vykonáváním (learning by doing)



Postup modelování robotických systémů

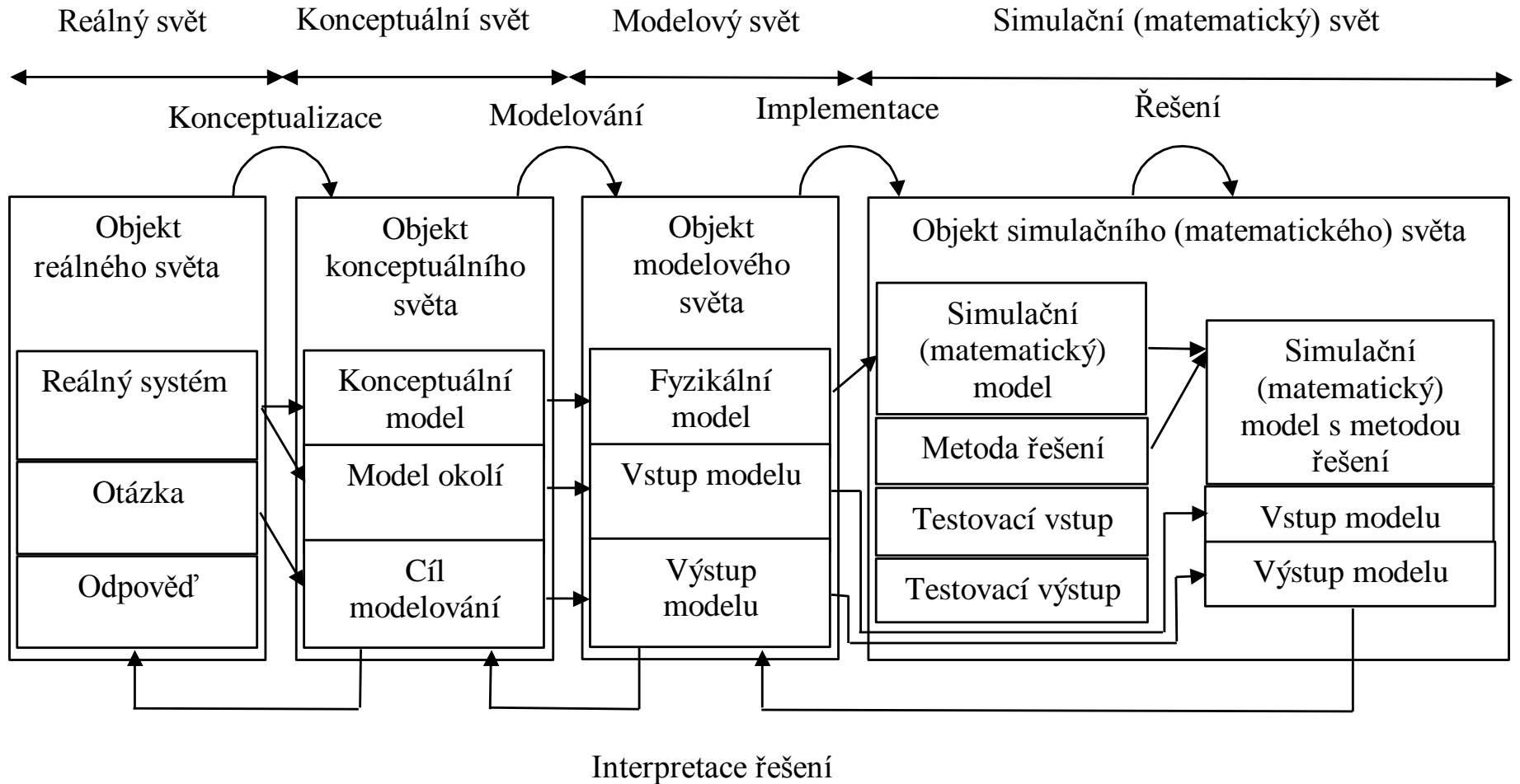
Ideální objekty

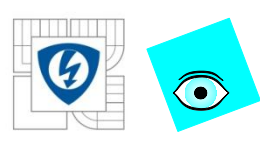
- Základ modelování je transformace reálných objektů (strojů, technických systémů, např. robotických systémů) na fiktivní abstraktní objekty s idealizovanými vlastnostmi = tzv. **ideální objekty**
- **Ideální objekty** – hmotný bod, tuhé těleso, lineární pružina, pružné těleso, ideální plyn, elektrická kapacita
- Věda umí formulovat teorémy jen o ideálních objektech, věda přímo nepředpovídá nic o reálných objektech
- Vlastnosti reálných objektů jsou pouze do jistého rozsahu podobné vlastnostem ideálních objektů
- Věda (inženýrský výpočet) je platná pro reálné objekty podle stupně shody vlastností reálného a ideálního objektu (idealizovaný model)
- Proto je modelování absolutně základní pro každého inženýra. Modelování je základ každého řešení inženýrského problému. Důležitost modelování roste plynule s používáním počítačů



Postup modelování robotických systémů

Životní cyklus vývoje simulačního modelu





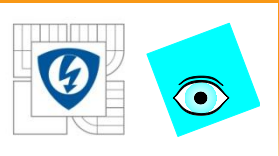
Postup sestavování dynamického modelu

- Specifické otázky pro modelování dynamiky
- Jak modelovat těleso soustavy mnoha těles
- - jako tuhé nebo jako poddajné?
- Těleso je tuhé, pokud spektrum budících frekvencí je mimo spektrum vlastních frekvencí tělesa.
- Jako modelovat poddajné těleso?
- Kolik a které vlastní vibrační a deformační tvary tělesa uvažovat.

25.2.2011

INVESTICE DO ROZVOJE VZDĚLÁVÁNÍ

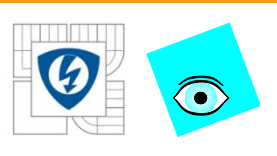




Postup modelování robotických systémů

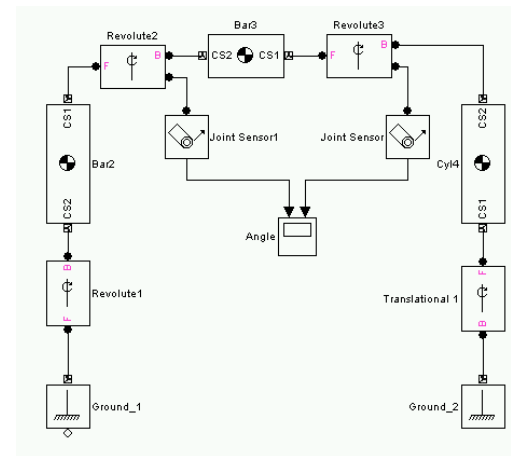
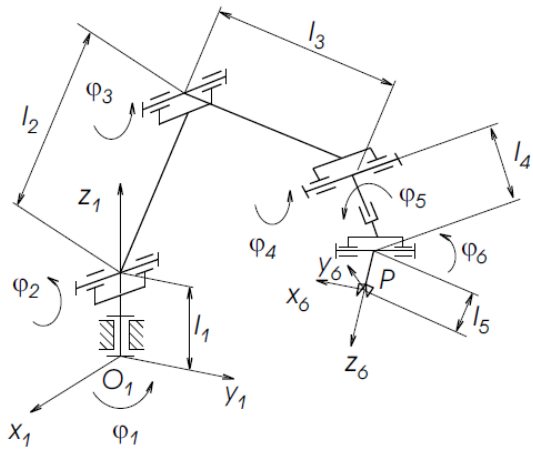
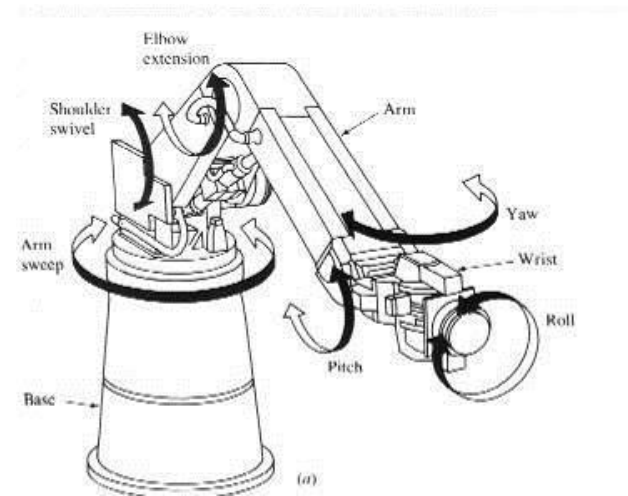
Kroky vývoje simulačního modelu

- 1. krok – analýza objektu reálného světa (reálný, hypotetický) v rámci jistého prostředí pro odpověď na nějakou otázku
- 2. krok – konceptuální úkol (konceptualizace), kde objekt reálného světa je transformován na objekt konceptuálního světa – uvažované komponenty jsou vybrány
- 3. krok – fyzikální modelování, kde objekt konceptuálního světa je transformován na objekt fyzikálního světa – každá komponenta je nahrazena jedním nebo více ideálními objekty
- 4. krok – sestavení simulačního modelu, kde objekt fyzikálního světa je transformován na objekt simulačního světa – implementace simulačního modelu a vlastní simulační experiment – náhrada modelu posloupností počítačem vykonatelných instrukcí – od ideálních objektů do matematických rovnic (modelu) spolu s řešičem a do počítačového kódu



Postup modelování robotických systémů

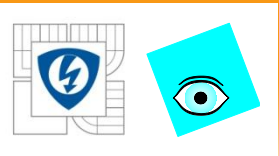
Příklad



25.2.2011

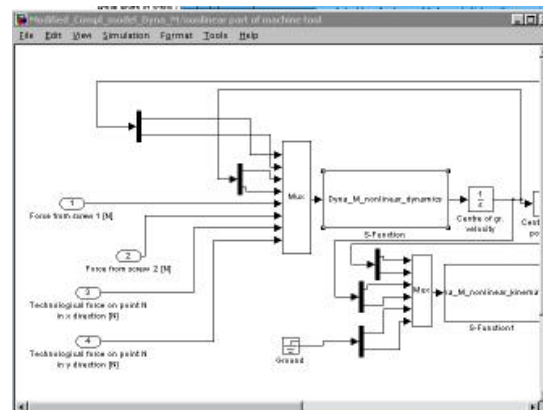
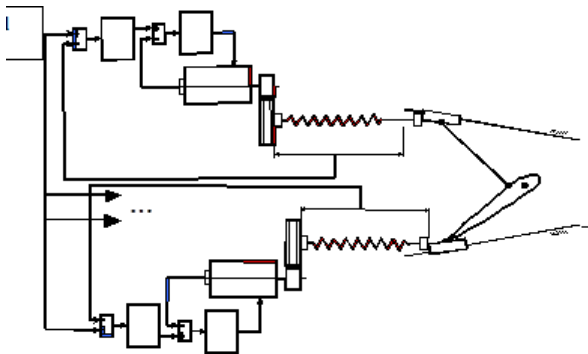
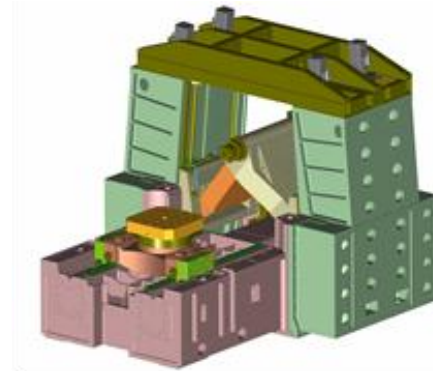
INVESTICE DO ROZVOJE VZDĚLÁVÁNÍ





Postup modelování robotických systémů

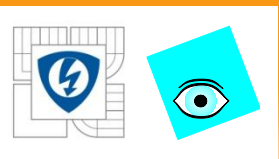
Příklad



25.2.2011

INVESTICE DO ROZVOJE VZDĚLÁVÁNÍ



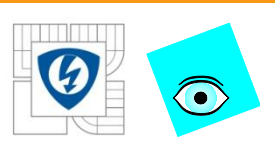


Postup modelování robotických systémů

Prolog

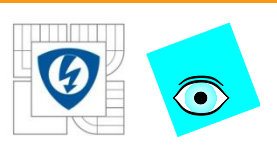
- **Robotické systémy**
 - Průmyslové roboty sériové struktury
 - Průmyslové roboty paralelní struktury
 - Mobilní roboty
 - Antropomorfní, humanoidní roboty





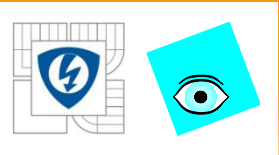
Úlohy dynamiky robotů

- Úlohy přímé: dány síly, hledáme pohyb
- Úlohy nepřímé (inverzní): dán pohyb, hledáme síly
- Úlohy globální: dán rozsah sil, hledáme rozsah pohybů



Metody sestavování dynamického modelu

- Existuje mnoho postupů sestavování pohybových rovnic soustav mnoha těles, tzv. dynamických formalismů
- Nejdříve popíšeme základní metody
 - Newton – Eulerovy pohybové rovnice
 - Lagrangeovy rovnice smíšeného typu
 - Rekurzivní metody
- Teprve potom popíšeme obecný přehled známých metod
- Metody mají vlastnosti z hlediska řady hledisek
 - Minimální CPU čas řešení počítačem
 - Snadnost sestavení modelu na straně člověka
 - Systematičnost a univerzálnost postupu



Newton-Eulerovy pohybové rovnice

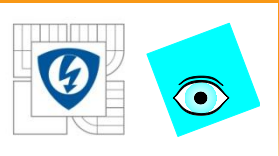
- Pohybové rovnice jednoho tělesa
 - Vyjádřené ve středu hmotnosti S

$$m \mathbf{a}_S = \mathbf{F}_v \quad \mathbf{I}_S \boldsymbol{\alpha} + \boldsymbol{\omega} \times \mathbf{I}_S \boldsymbol{\omega} = \sum_i \mathbf{M}_{iS} = \mathbf{M}_{Sv}$$

- Vyjádřené v obecném bodě P – kompozitní popis

$$\mathbf{I}^P \mathbf{a}^P = \mathbf{F}^P + \boldsymbol{\beta}^P \quad \mathbf{I}^P = \begin{bmatrix} m\mathbf{E} & m\tilde{\mathbf{d}}^T \\ m\tilde{\mathbf{d}} & \mathbf{I}_P \end{bmatrix} \quad \boldsymbol{\beta}^P = - \begin{bmatrix} m\boldsymbol{\omega} \times (\boldsymbol{\omega} \times \mathbf{d}) \\ \boldsymbol{\omega} \times \mathbf{I}_P \boldsymbol{\omega} \end{bmatrix}$$

$$\mathbf{a}^P = \begin{bmatrix} \mathbf{a}_P \\ \boldsymbol{\alpha} \end{bmatrix} \quad \mathbf{F}^P = \begin{bmatrix} \mathbf{F} \\ \mathbf{M}_P \end{bmatrix}$$



Newton-Eulerovy pohybové rovnice

- Pohybové rovnice soustavy těles
 - Popsané souřadnicemi $\mathbf{s}=[\mathbf{z},\mathbf{q}]$ vázanými vazbami

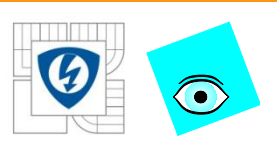
$$\mathbf{f}(\mathbf{z}, \mathbf{q}) = \mathbf{0} \quad \mathbf{J}_z \dot{\mathbf{z}} + \mathbf{J}_q \dot{\mathbf{q}} = \mathbf{0} \quad \mathbf{J}_z \ddot{\mathbf{z}} + \mathbf{J}_q \ddot{\mathbf{q}} + \mathbf{j}_{qz} = \mathbf{0}$$

- Pomocí nich vyjádříme zrychlení středů hmotnosti

$$\mathbf{a} = \mathbf{V}_z \ddot{\mathbf{z}} + \mathbf{V}_q \ddot{\mathbf{q}} + \mathbf{a}_{qz}$$

- Sestavíme pohybové rovnice metodou uvolňování

$$\mathbf{M}\mathbf{a} = \mathbf{D}\mathbf{R} + \mathbf{Q}$$

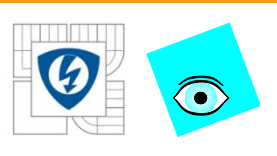


Newton-Eulerovy pohybové rovnice

- Celkové pohybové rovnice soustavy těles

$$\begin{bmatrix} \mathbf{M} & -\mathbf{D} & \mathbf{0}_1 & \mathbf{0}_2 \\ \mathbf{I} & \mathbf{0}_3 & -\mathbf{V}_z & -\mathbf{V}_q \\ \mathbf{0}_4 & \mathbf{0}_5 & \mathbf{J}_z & \mathbf{J}_q \end{bmatrix} \begin{bmatrix} \mathbf{a} \\ \mathbf{R} \\ \ddot{\mathbf{z}} \\ \ddot{\mathbf{q}} \end{bmatrix} = \begin{bmatrix} \mathbf{Q} \\ \mathbf{a}_{qz} \\ -\mathbf{j}_{qz} \end{bmatrix}$$

- Řešení začínáme z nezávislých souřadnic $\mathbf{q}(t_i)$, $d/dt \mathbf{q}(t_i)$
- Dopočítáme závislé
- Určíme a integrujeme nezávislá zrychlení



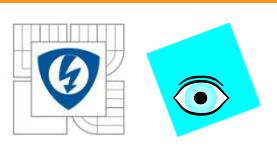
Newton-Eulerovy pohybové rovnice

- Soustava mnoha těles – robotický systém má n stupňů volnosti
- Soustavu popsána jen nezávislými souřadnicemi

$$\mathbf{a} = \mathbf{V}_q \ddot{\mathbf{q}} + \mathbf{a}_q$$

- Užijeme d'Alembertův, Jourdainův nebo Gaussův princip

$$\mathbf{V}_q^T \mathbf{M} \mathbf{V}_q \ddot{\mathbf{q}} = \mathbf{V}_q^T (\mathbf{Q} - \mathbf{M} \mathbf{a}_q)$$



Newton-Eulerovy pohybové rovnice

- Soustava mnoha těles – robotický systém má n stupňů volnosti
- Soustavu popsána i závislými souřadnicemi

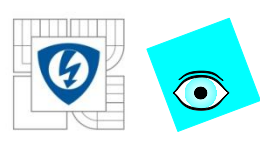
$$\mathbf{a} = \mathbf{V}_o \ddot{\mathbf{q}} + \mathbf{a}_o$$

$$\mathbf{J}_z \ddot{\mathbf{z}} + \mathbf{J}_q \ddot{\mathbf{q}} + \mathbf{j}_{qz} = \mathbf{0}$$

$$\mathbf{a} = (\mathbf{V}_q - \mathbf{V}_z \mathbf{J}_z^{-1} \mathbf{J}_q) \ddot{\mathbf{q}} + \mathbf{a}_{qz} - \mathbf{V}_z \mathbf{J}_z^{-1} \mathbf{j}_{qz}$$

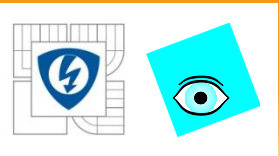
- Užijeme d'Alembertův, Jourdainův nebo Gaussův princip

$$(\mathbf{V}_q - \mathbf{V}_z \mathbf{J}_z^{-1} \mathbf{J}_q)^T \mathbf{M} (\mathbf{V}_q - \mathbf{V}_z \mathbf{J}_z^{-1} \mathbf{J}_q) \ddot{\mathbf{q}} = (\mathbf{V}_q - \mathbf{V}_z \mathbf{J}_z^{-1} \mathbf{J}_q)^T (\mathbf{Q} - \mathbf{M} (\mathbf{a}_{qz} - \mathbf{V}_z \mathbf{J}_z^{-1} \mathbf{j}_{qz}))$$



Lagrangeovy rovnice smíšeného typu

- Soustava mnoha těles – robotický systém má n stupňů volnosti
- Soustava mnoha těles je popsána m závislými (fyzikálními) souřadnicemi
- $s_j, j=1, \dots, m, m>n$
- Tyto souřadnice jsou podrobeny holonomním rheonomním vazbám
- $f_k(s_j, t)=0, k=1, \dots, r, r=m-n$

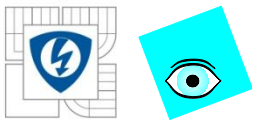


Lagrangeovy rovnice smíšeného typu

- Je sestaven výraz pro kinetickou energii E_k soustavy
- $T = E_k = E_k(s_j, d/dt s_j, t)$
- Lagrangeovy rovnice smíšeného typu

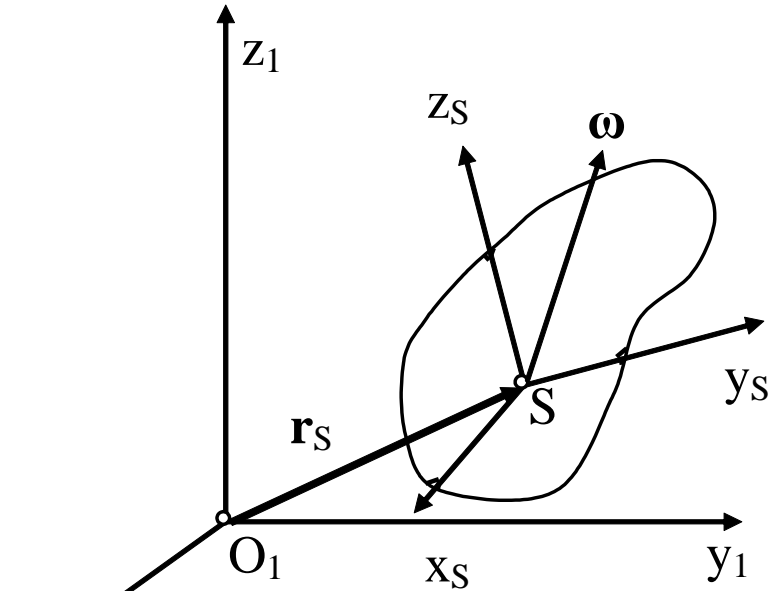
$$\frac{d}{dt} \frac{\partial T}{\partial \dot{s}_j} - \frac{\partial T}{\partial s_j} = Q_j + \sum_{k=1}^r \lambda_k \frac{\partial f_k}{\partial s_j}, \quad j = 1, 2, \dots, n$$

- kde Q_j jsou zobecněné síly a λ_k jsou Lagrangeovy multiplikátory odpovídající vazbovým podmínkám f_k



Lagrangeovy rovnice smíšeného typu

- Výraz pro kinetickou energii E_k je sestaven užitím Königovy věty

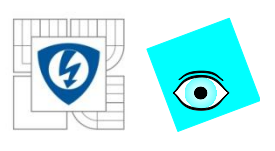


$$E_k = \frac{1}{2} m v_S^2 + \frac{1}{2} \boldsymbol{\omega}^T \mathbf{I}_S \boldsymbol{\omega}$$

$$v_S^2 = \mathbf{v}_S \cdot \mathbf{v}_S = \mathbf{v}_S^T \mathbf{v}_S, \quad \mathbf{v}_S = \frac{d\mathbf{r}_S}{dt}$$

$$\boldsymbol{\Omega}_{1S} = \mathbf{S}_{1S}^T \dot{\mathbf{S}}_{1S}$$

$$\boldsymbol{\omega}^T \mathbf{I}_S \boldsymbol{\omega} = [\omega_{Sx}, \omega_{Sy}, \omega_{Sz}] \begin{bmatrix} I_x & -I_{xy} & -I_{xz} \\ -I_{xy} & I_y & -I_{yz} \\ -I_{xz} & -I_{yz} & I_z \end{bmatrix} \begin{bmatrix} \omega_{Sx} \\ \omega_{Sy} \\ \omega_{Sz} \end{bmatrix}$$



Lagrangeovy rovnice smíšeného typu

- Výrazy pro zobecněné síly Q_j jsou sestaveny užitím
- 1) skalárních výrazů pro pracovní síly

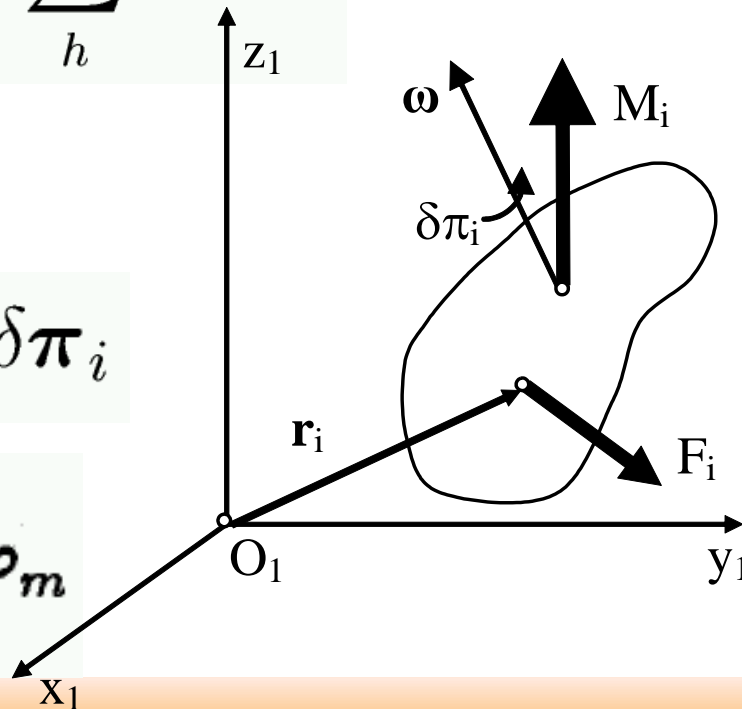
$$Q_j = \sum_l P_l \frac{\partial p_l}{\partial s_j}$$

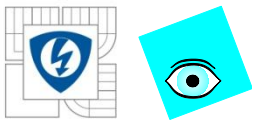
$$Q_j \delta s_j = \sum_h P_h \delta p_h$$

- 2) vektorových výrazů

$$Q_j \delta s_j = \mathbf{F}_i \cdot \delta \mathbf{r}_i + \mathbf{M}_i \cdot \delta \boldsymbol{\pi}_i$$

$$Q_r \delta q_r = \sum_l \mathbf{F}_l^T \delta \mathbf{r}_l + \sum_m \mathbf{M}_m^T \delta \boldsymbol{\varphi}_m$$





Lagrangeovy rovnice smíšeného typu

$$\omega_i \delta t = \delta \pi_i$$

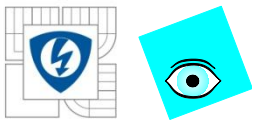
- Nelze integrovat úhlové rychlosti $\dot{\varphi}_i = \omega_i$
- To lze jen pro konstatní osu rotace
- Obecně Eulerovy kinematické rovnice nelze integrovat

$$\omega_i = A(\varphi) \dot{\varphi}_i$$

$$\Omega_{1S} = S_{1S}^T \dot{S}_{1S}$$

$$\frac{\partial \mathbf{v}_i}{\partial \dot{s}_j} = \frac{\partial \mathbf{r}_i}{\partial s_j} \quad \frac{\partial \omega_i}{\partial \dot{s}_j} = \frac{\partial \pi_i}{\partial s_j}$$

$$Q_j = \mathbf{F}_i^T \frac{\partial \mathbf{v}_i}{\partial \dot{s}_j} + \mathbf{M}_i^T \frac{\partial \omega_i}{\partial \dot{s}_j}$$



Lagrangeovy rovnice smíšeného typu

- 3) potenciální energie a Raleighovy funkce

$$V = V(s_j, t)$$

$$P_l = -b_l \dot{s}_l$$

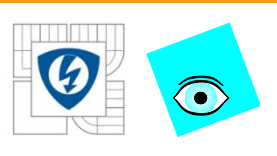
$$Q_r = -\frac{\partial V}{\partial q_r}$$

$$D = D(\mathbf{s}, \dot{\mathbf{s}}, t) = \frac{1}{2} \sum_i \sum_j b_{ij} \dot{s}_i \dot{s}_j$$

$$P_l = -\frac{\partial D}{\partial \dot{s}_j}$$

- Toto je velmi užitečné pro pružiny a tlumiče, neboť dostaneme snadno správná znaménka

$$\frac{d}{dt} \frac{\partial T}{\partial \dot{s}_j} - \frac{\partial T}{\partial s_j} = Q_j - \frac{\partial V}{\partial s_j} - \frac{\partial D}{\partial \dot{s}_j} + \sum_{k=1}^r \lambda_k \frac{\partial f_k}{\partial s_j}, \quad j = 1, 2, \dots, n$$



Lagrangeovy rovnice smíšeného typu

Struktura LEMT

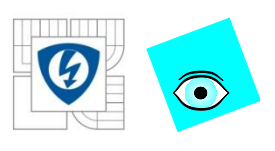
$$\sum_{a=1}^n \frac{\partial^2 T}{\partial \dot{s}_a \partial \dot{s}_j} \ddot{s}_a + \sum_{a=1}^n \frac{\partial^2 T}{\partial s_a \partial \dot{s}_j} \dot{s}_a + \frac{\partial^2 T}{\partial t \partial \dot{s}_j} - \frac{\partial T}{\partial s_j} = Q_j + \sum_{k=1}^r \lambda_k \frac{\partial f_k}{\partial s_j}$$

Druhá časová derivace vazbových podmínek

$$\frac{\partial^2 f_k}{\partial t^2} = \sum_{a=1}^n \frac{\partial f_k}{\partial s_a} \ddot{s}_a + \sum_{j=1}^n \sum_{a=1}^n \frac{\partial^2 f_k}{\partial s_j \partial s_a} \dot{s}_a \dot{s}_j + 2 \sum_{a=1}^n \frac{\partial^2 f_k}{\partial t \partial s_a} \dot{s}_a + \frac{\partial^2 f_k}{\partial t^2} = 0$$

$$\begin{bmatrix} \mathbf{M} & \Phi_s^T \\ \Phi_s & \mathbf{0} \end{bmatrix} \begin{bmatrix} \ddot{\mathbf{s}} \\ -\boldsymbol{\lambda} \end{bmatrix} = \begin{bmatrix} \mathbf{p}_1 \\ \mathbf{p}_2 \end{bmatrix}$$

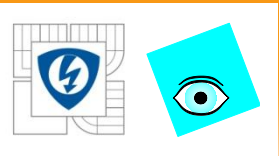
$$\ddot{\mathbf{s}} = [\ddot{s}_1, \ddot{s}_2, \dots, \ddot{s}_n], \boldsymbol{\lambda} = [\lambda_1, \lambda_2, \dots, \lambda_n]$$



Lagrangeovy rovnice smíšeného typu

Struktura LEMT

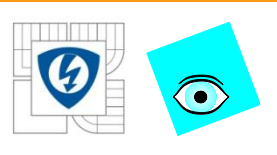
$$\begin{aligned}(\mathbf{M})_{ij} &= \frac{\partial^2 T}{\partial \dot{s}_i \partial \dot{s}_j}, & (\Phi_s)_{ij} &= \frac{\partial f_i}{\partial s_j}, \\(\mathbf{P1})_j &= \frac{\partial T}{\partial s_j} - \frac{\partial^2 T}{\partial t \partial \dot{s}_j} - \sum_{a=1}^n \frac{\partial^2 T}{\partial s_a \partial \dot{s}_j} \dot{s}_a + Q_j \\(\mathbf{P2})_k &= - \sum_{j=1}^n \sum_{a=1}^n \frac{\partial^2 f_k}{\partial s_j \partial s_a} \dot{s}_j \dot{s}_a - 2 \sum_{a=1}^n \frac{\partial^2 f_k}{\partial t \partial s_a} \dot{s}_a - \frac{\partial^2 f_k}{\partial t^2}\end{aligned}$$



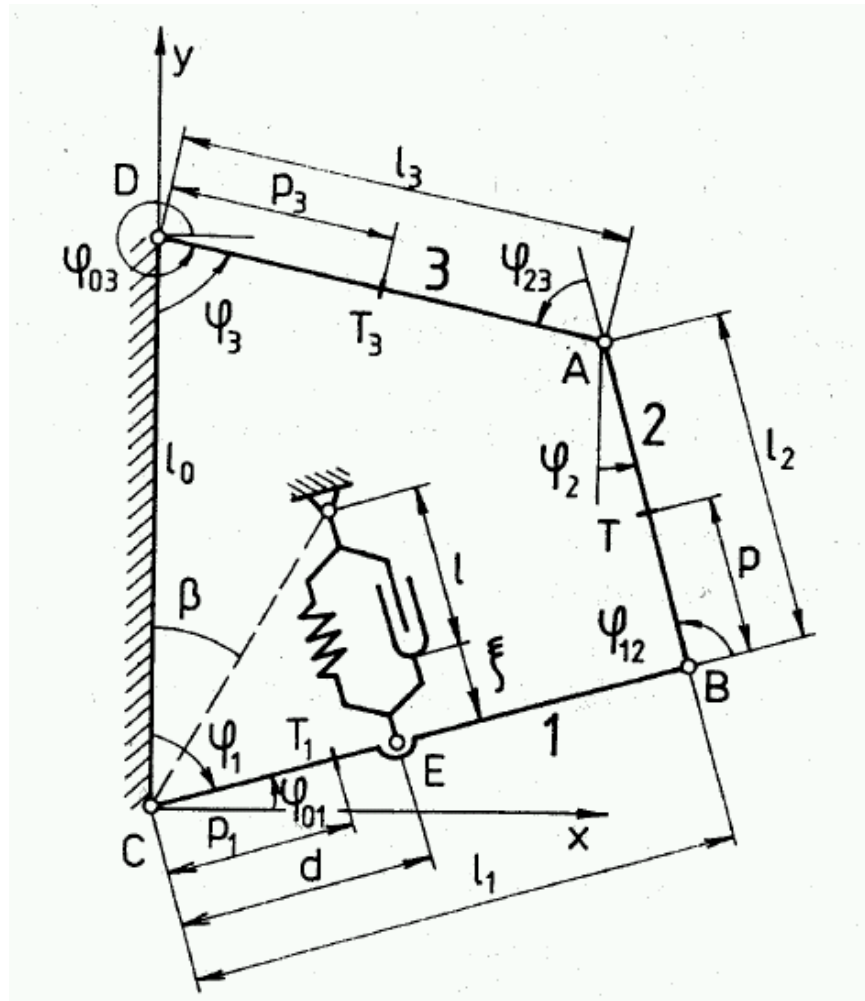
Lagrangeovy rovnice smíšeného typu

Principiální schéma numerického řešení

Principiální postup řešení je následující. Na začátku máme souřadnice $s(t_i)$ a jejich rychlosti $d/dt s(t_i)$ v čase t_i . Z nich vypočteme matici soustavy i její pravou stranu. Řešením této soustavy dostaneme zrychlení $d^2/dt^2 s(t_i)$ a Lagrangeovy multiplikátory λ . Integrací zrychlení v čase dostaneme polohy $s(t_{i+1})$ a rychlosti $d/dt s(t_{i+1})$ v čase t_{i+1} a celý postup můžeme opakovat. Tento postup však trpí numerickou nestabilitou.



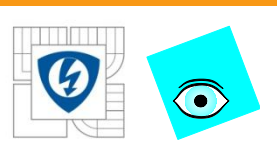
Příklad – rovinné lichoběžníkové zavěšení kola automobilu



25.2.2011

INVESTICE DO ROZVOJE VZDĚLÁVÁNÍ





Příklad – rovinné lichoběžníkové zavěšení kola automobilu

- Souřadnice
- Počet stupňů volnosti, souřadnice, vazby

- Kinetická energie $T = \frac{1}{2}(I_1\dot{\varphi}_1^2 + I_2T\dot{\varphi}_2^2 + m_2(\dot{x}_2^2 + \dot{y}_2^2) + I_3\dot{\varphi}_3^2)$

$$x_2 = l_1 s \varphi_1 - p s \varphi_2$$

$$y_2 = l_1 c \varphi_1 + p c \varphi_2$$

$$\dot{x}_2^2 + \dot{y}_2^2 = l_1^2 \dot{\varphi}_1^2 + p^2 \dot{\varphi}_2^2 - 2l_1 p c (\varphi_1 + \varphi_2) \dot{\varphi}_1 \dot{\varphi}_2$$

- Vazby

$$f_1 \equiv l_1 s \varphi_1 - l_2 s \varphi_2 - l_3 s \varphi_3 = 0$$

- Zobecněné síly

$$f_2 \equiv l_1 c \varphi_1 + l_2 c \varphi_2 + l_3 c \varphi_3 - l_0 = 0$$

– Síla pružiny a tlumiče $F(\xi, \dot{\xi})$ na ξ

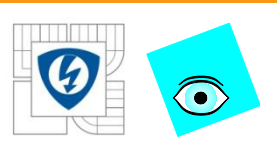
$$\xi = \sqrt{a - 2bc(\varphi_1 - \beta)} - l$$

$$(l + \xi)^2 = l^2 + 2d^2 - 2d\sqrt{l^2 + d^2}c(\varphi_1 - \beta)$$

$$Q_j \delta s_j = \sum_h P_h \delta p_h$$

$$Q_j = \sum_l P_l \frac{\partial p_l}{\partial s_j}$$

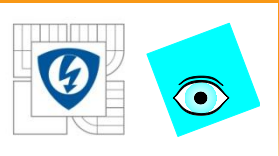
$$a = l^2 + 2d^2 \text{ and } b = d\sqrt{l^2 + d^2}$$



Příklad – rovinné lichoběžníkové zavěšení kola automobilu

- pohybové rovnice

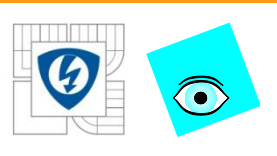
$$\begin{bmatrix} I_1 + m_2 l_1^2, & -m_2 l_1 p c(\varphi_1 + \varphi_2), & 0, & l_1 c\varphi_1, & -l_1 s\varphi_1 \\ & I_{2T} + m_2 p^2, & 0, & -l_2 c\varphi_2, & -l_2 s\varphi_2 \\ & & I_3, & -l_3 c\varphi_3, & -l_3 s\varphi_3 \\ \text{sym.} & & & 0, & 0, \\ & & & & 0, \end{bmatrix} \begin{bmatrix} \ddot{\varphi}_1 \\ \ddot{\varphi}_2 \\ \ddot{\varphi}_3 \\ -\lambda_1 \\ -\lambda_2 \end{bmatrix} = \begin{bmatrix} -m_2 l_1 p \dot{\varphi}_2^2 s(\varphi_1 + \varphi_2) - F(\xi, \dot{\xi})(b/(l + \xi))s(\varphi_1 - \beta) \\ -m_2 l_1 p \dot{\varphi}_1^2 s(\varphi_1 + \varphi_2) \\ 0 \\ l_1 \dot{\varphi}_1^2 s\varphi_1 - l_2 \dot{\varphi}_2^2 s\varphi_2 - l_3 \dot{\varphi}_3^2 s\varphi_3 \\ l_1 \dot{\varphi}_1^2 c\varphi_1 + l_2 \dot{\varphi}_2^2 c\varphi_2 + l_3 \dot{\varphi}_3^2 c\varphi_3 \end{bmatrix}$$



Lagrangeovy rovnice smíšeného typu

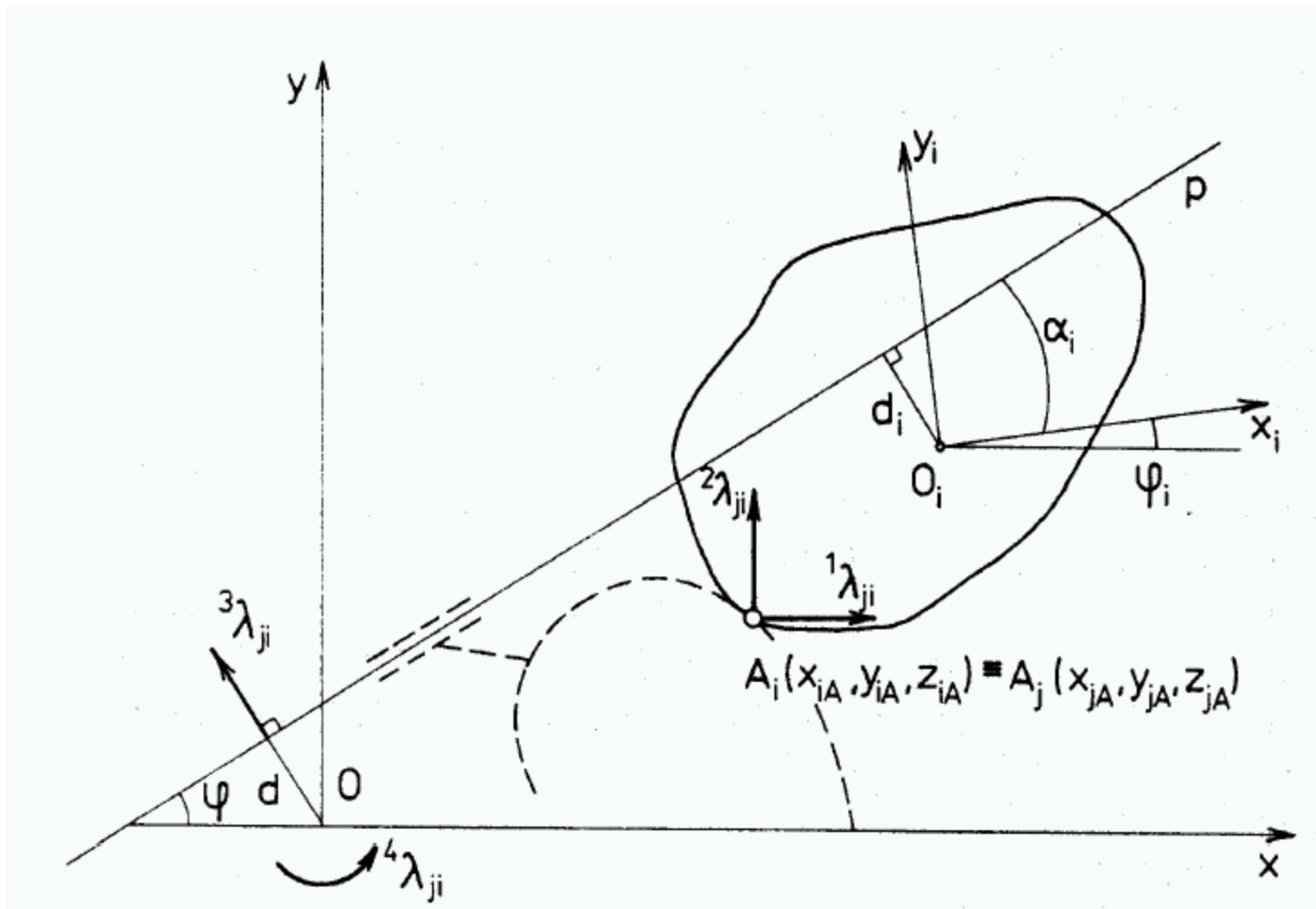
Fyzikální souřadnice

- Časté použití fyzikální souřadnice
 - V prostoru – kartézské souřadnice středu hmotnosti a Eulerovy/Cardanovy úhly nebo Eulerovy parametry
 - V rovině – kartézské souřadnice středu hmotnosti a úhel mezi lokálním a globálním souřadnicovým systémem



Lagrangeovy rovnice smíšeného typu

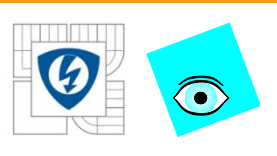
Fyzikální souřadnice pro rovinné soustavy



25.2.2011

INVESTICE DO ROZVOJE VZDĚLÁVÁNÍ



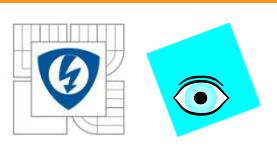


Lagrangeovy rovnice smíšeného typu

Fyzikální souřadnice

- Kinematické vazby

$$\begin{aligned}x_i + x_i AC\varphi_i - y_i AS\varphi_i &= x_j + x_j AC\varphi_j - y_j AS\varphi_j \\y_i + x_i AS\varphi_i + y_i AC\varphi_i &= y_j + x_j AS\varphi_j + y_j AC\varphi_j \\d_i + y_i c(\alpha_i + \varphi_i) - x_i s(\alpha_i + \varphi_i) &= \\= d_j + y_j c(\alpha_j + \varphi_j) - x_j s(\alpha_j + \varphi_j) \\ \alpha_i + \varphi_i &= \alpha_j + \varphi_j\end{aligned}$$



Lagrangeovy rovnice smíšeného typu

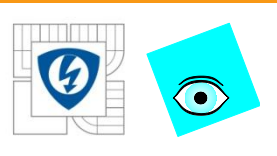
Fyzikální souřadnice

- Pohybové rovnice

$$m_i \ddot{x}_i = \sum_A {}^1\lambda_{ji} - \sum_p {}^3\lambda_{ji} s(\alpha_i + \varphi_i)$$

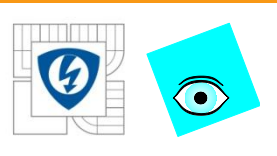
$$m_i \ddot{y}_i = \sum_A {}^2\lambda_{ji} + \sum_p {}^3\lambda_{ji} c(\alpha_i + \varphi_i)$$

$$I_i \ddot{\varphi}_i = \sum_A (-{}^1\lambda_{ji}(x_{iAS}\varphi_i + y_{iAC}\varphi_i) + {}^2\lambda_{ji}(x_{iAC}\varphi_i - y_{iAS}\varphi_i)) \\ + \sum_p ({}^3\lambda_{ji}(-y_i s(\alpha_i + \varphi_i) - x_i c(\alpha_i + \varphi_i)) + {}^4\lambda_{ji})$$



Metody integrace pohybových rovnic

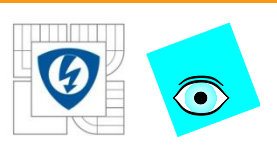
- Souřadnice
- NEZÁVISLÉ souřadnice:
 - Počet souřadnic = počet stupňů volnosti ($m=n$)
 - Pohybové rovnice = ODE
 - Relativní souřadnice, zobecněné souřadnice
- ZÁVISLÉ souřadnice:
 - Počet souřadnic $>$ počet stupňů volnosti ($m>n$)
 - Pohybové rovnice = DAE
 - fyzikální souřadnice, přirozené souřadnice, jiné závislé souřadnice



Metody integrace pohybových rovnic

Obecné numerické řešení DAE

- Index DAE = počet časových derivací algebraických rovnic +1, aby byla dosažena regulární systémová matice



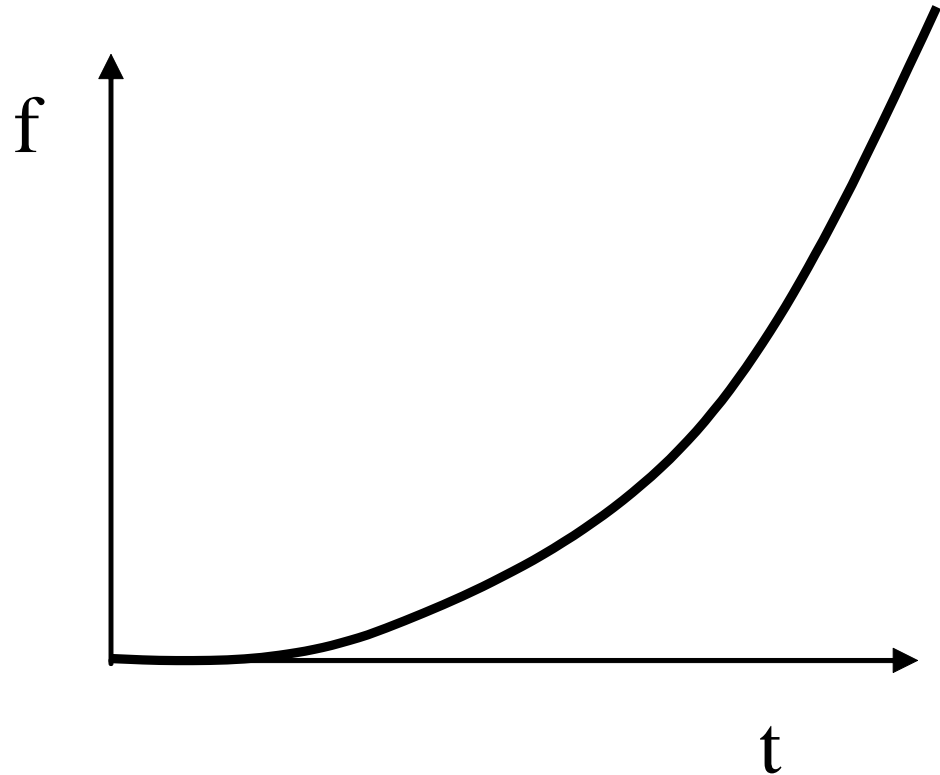
Metody integrace pohybových rovnic

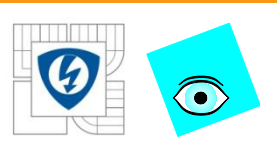
Přímé numerické řešení DAE – nebezpečí nestability

$$\ddot{f} = \varepsilon_a$$

$$\dot{f} = \varepsilon_a t + \varepsilon_v$$

$$f = \frac{1}{2}\varepsilon_a t^2 + \varepsilon_v t + \varepsilon_p$$





Metody integrace pohybových rovnic

Řešení numerické nestability DAE

- Řešení ve fyzikálních souřadnicích
- Baugartova stabilizace
- Vazbové rovnice $\ddot{f} = 0$ mají charakteristické kořeny

$$\lambda_{1,2}=0$$

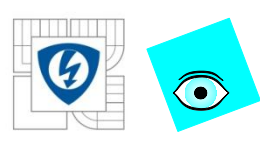
- Proto jsou modifikovány

$$\ddot{f} + 2\alpha\dot{f} + \beta^2 f = 0; \quad \alpha > 0$$

s charakterickými kořeny se zápornou reálnou částí

- Například $\alpha = \beta = 1$ a řešení vazeb je tlumeno

$$f = e^{-t}(C_1 + C_2 t)$$



Metody integrace pohybových rovnic

Řešení numerické nestability DAE

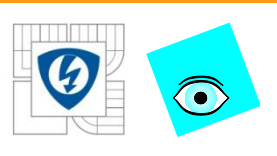
- Baumgartova stabilizace

$$\ddot{\mathbf{f}} + 2\alpha\dot{\mathbf{f}} + \beta^2\mathbf{f} = \mathbf{0}$$

$$\Phi_s\ddot{\mathbf{s}} + \dot{\Phi}_s\dot{\mathbf{s}} + 2\alpha\Phi_s\dot{\mathbf{s}} + \beta^2\mathbf{f} = \mathbf{0}$$

$$\begin{bmatrix} \mathbf{M} & \Phi_s^T \\ \Phi_s & \mathbf{0} \end{bmatrix} \begin{bmatrix} \ddot{\mathbf{s}} \\ -\lambda \end{bmatrix} = \begin{bmatrix} \mathbf{P}_1 \\ -\dot{\Phi}_s\dot{\mathbf{s}} - 2\alpha\Phi_s\dot{\mathbf{s}} - \beta^2\mathbf{f} \end{bmatrix}$$

$$\alpha=\beta=1, \alpha=\beta=10, \alpha=10, \beta=5$$



Metody integrace pohybových rovnic

Řešení numerické nestability DAE

- Řešení v nezávislých souřadnicích

$$\mathbf{q} = \mathbf{B}\mathbf{s}$$

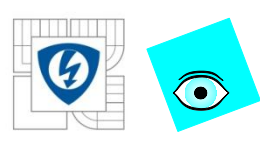
$$\Phi_s \dot{\mathbf{s}} = \mathbf{0}$$

$$\dot{\mathbf{q}} = \mathbf{B}\dot{\mathbf{s}}$$

$$\begin{bmatrix} \Phi_s \\ \mathbf{B} \end{bmatrix} \dot{\mathbf{s}} = \begin{bmatrix} \mathbf{0} \\ \dot{\mathbf{q}} \end{bmatrix}$$

$$\dot{\mathbf{s}} = \begin{bmatrix} \Phi_s \\ \mathbf{B} \end{bmatrix}^{-1} \begin{bmatrix} \mathbf{0} \\ \dot{\mathbf{q}} \end{bmatrix} = [\mathbf{R}^*, \mathbf{R}] \begin{bmatrix} \mathbf{0} \\ \dot{\mathbf{q}} \end{bmatrix} = \mathbf{R}\dot{\mathbf{q}}$$

$$\Phi_s \mathbf{R} = \mathbf{R}^T \Phi_s^T = \mathbf{0}$$



Metody integrace pohybových rovnic

Řešení numerické nestability DAE

- Řešení v nezávislých souřadnicích

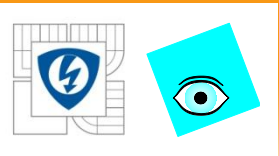
$$\mathbf{M}\ddot{\mathbf{s}} - \Phi_s^T \boldsymbol{\lambda} = \mathbf{p}_1$$

$$\mathbf{R}^T \mathbf{M}\ddot{\mathbf{s}} - \mathbf{R}^T \Phi_s^T \boldsymbol{\lambda} = \mathbf{R}^T \mathbf{p}_1$$

$$\mathbf{R}^T \mathbf{M}\ddot{\mathbf{s}} = \mathbf{R}^T \mathbf{p}_1$$

$$\ddot{\mathbf{s}} = \mathbf{R}\ddot{\mathbf{q}} + \dot{\mathbf{R}}\dot{\mathbf{q}}$$

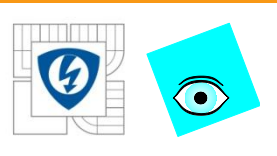
$$\mathbf{R}^T \mathbf{M}\mathbf{R}\ddot{\mathbf{q}} = \mathbf{R}^T \mathbf{p}_1 - \mathbf{R}^T \mathbf{M}\dot{\mathbf{R}}\dot{\mathbf{q}}$$



Metody integrace pohybových rovnic

Řešení numerické nestability DAE

- Určení **R**
 - Volba nezávislých souřadnic ze závislých konstantní maticí **B**
 - Metoda projekce
 - Inverzní kinematika



Metody integrace pohybových rovnic

Řešení numerické nestability DAE

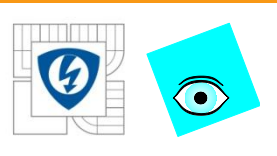
- Metoda projekce

$$[\Phi_z \Phi_q] \begin{bmatrix} \dot{z} \\ \dot{q} \end{bmatrix} = \Phi_z \dot{z} + \Phi_q \dot{q} = 0$$

$$\dot{z} = -\Phi_z^{-1} \Phi_q \dot{q} = P \dot{q}$$

$$\begin{bmatrix} \dot{z} \\ \dot{q} \end{bmatrix} = \dot{s} = \begin{bmatrix} -\Phi_z^{-1} \Phi_q \\ \mathbf{E} \end{bmatrix} \dot{q}$$

$$\mathbf{R} = \begin{bmatrix} -\Phi_z^{-1} \Phi_q \\ \mathbf{E} \end{bmatrix}$$



Metody integrace pohybových rovnic

Řešení numerické nestability DAE

- Rozklad Jacobiho matice vazeb

$$\Phi_s = U^T D V$$

$$c = V s$$

$$\dot{c} = V \dot{s}, \quad \ddot{c} = V \ddot{s}$$

$$\Phi_s V^T \dot{c} = 0$$

$$U^T D \dot{c} = 0$$

$$D \dot{c} = 0$$

$$c_z = [c_1, c_2, \dots, c_r]$$

$$c_q = [c_{r+1}, c_{r+2}, \dots, c_n]$$

$$c = \begin{bmatrix} c_z \\ c_q \end{bmatrix} = \begin{bmatrix} V_z \\ V_q \end{bmatrix} s$$

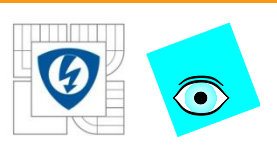
$$c_q = V_q s$$

$$R = V_q^T$$

$$B = V_q$$

$$\begin{bmatrix} \Phi_s \\ B \end{bmatrix} \ddot{s} = \begin{bmatrix} 0 \\ \ddot{q} \end{bmatrix} - \begin{bmatrix} \dot{\Phi}_s \\ 0 \end{bmatrix} \dot{s}$$

$$\ddot{s} = \begin{bmatrix} \Phi_s \\ B \end{bmatrix}^{-1} \left(\begin{bmatrix} 0 \\ \ddot{q} \end{bmatrix} - \begin{bmatrix} \dot{\Phi}_s \\ 0 \end{bmatrix} \dot{s} \right)$$



Metody integrace pohybových rovnic

Řešení numerické nestability DAE

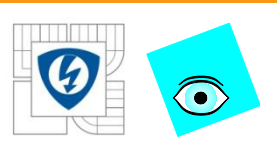
- Metoda inverzní kinematiky

$$s = r(q)$$

$$\dot{s} = R\dot{q}$$

$$\ddot{s} = R\ddot{q} + \dot{R}\dot{q}$$

$$R = \frac{\partial R}{\partial q}$$



Metody integrace pohybových rovnic

Řešení numerické nestability DAE

- Historicky – metoda rozdělených souřadnic

$$\Phi_s \dot{s} = [\Phi_u, \Phi_v] \begin{bmatrix} \dot{u} \\ \dot{v} \end{bmatrix} = -\Phi_t$$

$$\dot{u} = -\Phi_u^{-1} \Phi_v \dot{v} - \Phi_u^{-1} \Phi_t$$

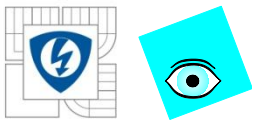
$$\ddot{u} = -\Phi_u^{-1} \Phi_v \ddot{v} - \Phi_u^{-1} ((\Phi_s \dot{s})_s \dot{s} + 2\Phi_{ts} \dot{s} + \Phi_{tt})$$

$$M^{uu} \ddot{u} + M^{uv} \ddot{v} = g^u - \Phi_u^T \lambda$$

$$M^{vu} \ddot{u} + M^{vv} \ddot{v} = g^v - \Phi_v^T \lambda$$

$$(M^{vv} - (\Phi_u^{-1} \Phi_v)^T M^{uv}) \ddot{v} + (M^{vu} - (\Phi_u^{-1} \Phi_v)^T M^{uu}) \ddot{u} =$$

$$= g^v - (\Phi_u^{-1} \Phi_v)^T g^u$$



Ekvivalence N-E a LEMT

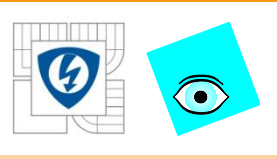
- Pohybové rovnice soustavy mnoha těles lze sestavit mnoha způsoby. Všechny musejí být ekvivalentní, protože výsledné pohybové rovnice popisují tentýž mechanický systém.
- Dva hlavní postupy jsou reprezentovány: Newton-Eulerovy pohybové rovnice (metoda uvolňování a N-E rovnice) a Lagrangeovy rovnice smíšeného typu
- Avšak, např. i pohybové rovnice jediného tělesa nejsou identické, tj. fyzikální souřadnice s Cardanovými úhly pomocí N-E a LEMT pohybových rovnic

$$m_i \dot{\mathbf{v}}_i = \mathbf{F}_i$$

$$\mathbf{I}_i \dot{\boldsymbol{\omega}}_i + \boldsymbol{\omega}_i \times \mathbf{I}_i \boldsymbol{\omega}_i = \mathbf{M}_i$$

$$T_i = \frac{1}{2} m_i \mathbf{v}_i^T \mathbf{v}_i + \frac{1}{2} \boldsymbol{\omega}_i^T \mathbf{I}_i \boldsymbol{\omega}_i$$

$$\frac{d}{dt} \frac{\partial T_i}{\partial \dot{s}_j} - \frac{\partial T_i}{\partial s_j} = Q_j$$



Ekvivalence N-E a LEMT

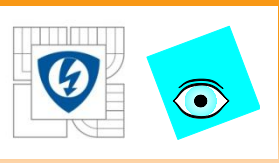
- Rovnost levých stran pohybových rovnic

$$\frac{d}{dt} \frac{\partial T}{\partial \dot{s}_j} - \frac{\partial T}{\partial s_j} = \sum_i \left((m_i \dot{\mathbf{v}}_i)^T \frac{\partial \mathbf{v}_i}{\partial \dot{s}_j} + (\mathbf{I}_i \dot{\boldsymbol{\omega}}_i + \boldsymbol{\omega}_i \times \mathbf{I}_i \boldsymbol{\omega}_i)^T \frac{\partial \boldsymbol{\omega}_i}{\partial \dot{s}_j} \right)$$

- Rovnost pravých stran pohybových rovnic

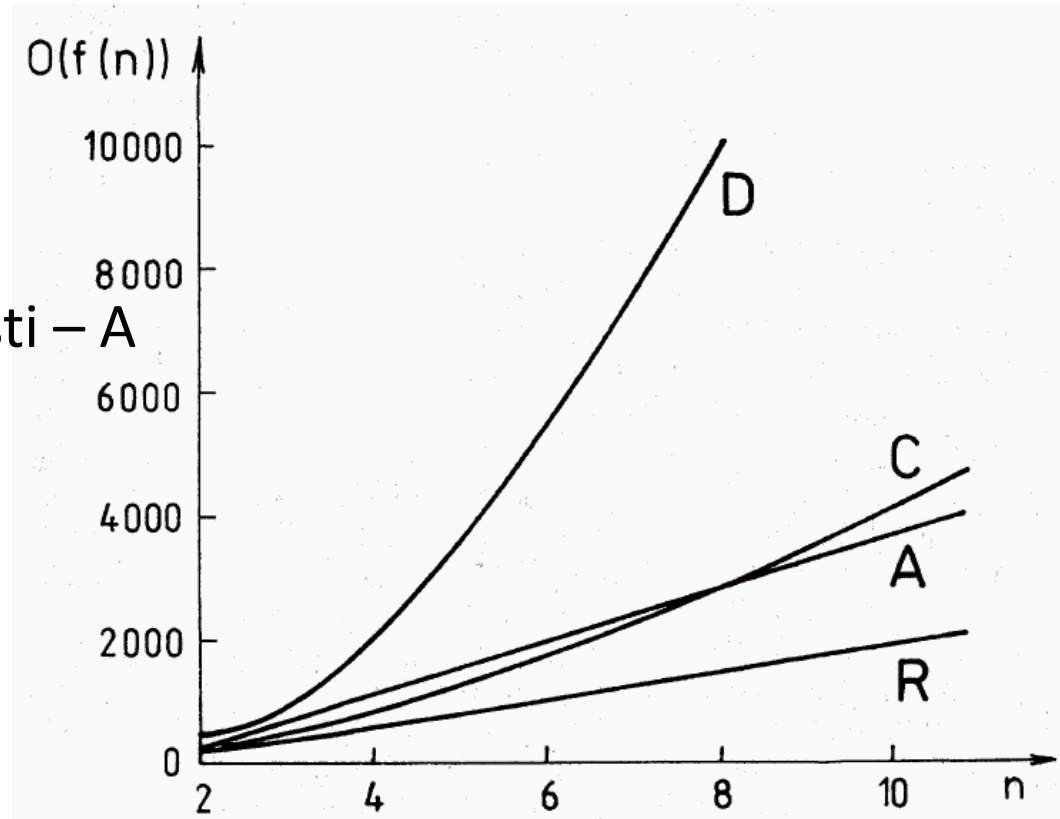
$$Q_j + \sum_{k=1}^r \lambda_k \frac{\partial g_k}{\partial s_j^{(h)}} = \sum_i \left(\mathbf{F}_i^T \frac{\partial \mathbf{v}_i}{\partial \dot{s}_j} + \mathbf{M}_i^T \frac{\partial \boldsymbol{\omega}_i}{\partial \dot{s}_j} \right)$$

- Lze vysvětlit shodu většiny formalismů



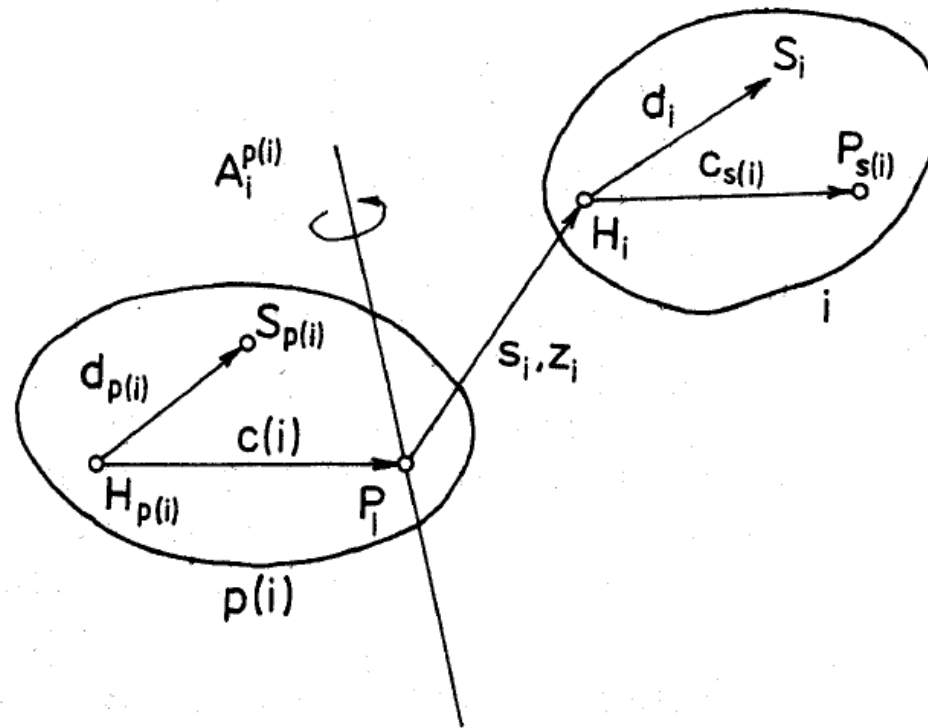
Výpočtová složitost

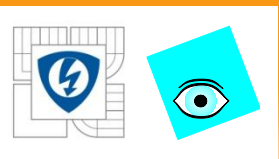
- Přímé pohybové rovnice - D
- $O(n^3) + O(n^2) + O(n^3)$
- Kompozitní tuhá tělesa - C
- $O(n^2) + O(n) + O(n^3)$
- Člákové matice setrvačnosti – A
- $O(n)$
- Residuová metoda - R
- $\alpha O(n^2) + O(n) + \alpha O(n^3)$
- Pro poddajná tělesa
10-100x větší rozdíly !!!



Rekurzivní metody sestavování pohybových rovnic

- Kompozitní tuhá tělesa
- Člankové matice setrvačnosti





Rekurzivní metody sestavování pohybových rovnic

- Rekurzivní popis kinematiky

$$\mathbf{a}_i^H = \mathbf{C}_i \mathbf{a}_{p(i)}^H + \Phi_i \ddot{\mathbf{s}}_i + \boldsymbol{\eta}_i$$

$$\mathbf{C}_i = \begin{bmatrix} \mathbf{A}_i^{p(i)} & \mathbf{A}_i^{p(i)}(\bar{\mathbf{c}}_i + \bar{\mathbf{z}}_i)^T \\ 0 & \mathbf{A}_i^{p(i)} \end{bmatrix} \quad \boldsymbol{\eta}_i = \begin{bmatrix} \mathbf{A}_i^{p(i)}(\tilde{\boldsymbol{\omega}}_{p(i),p(i)}^2(\bar{\mathbf{c}}_i + \bar{\mathbf{z}}_i)) + (\mathbf{A}_i^{p(i)}\boldsymbol{\omega}_{p(i),p(i)}) \times 2\dot{\mathbf{s}}_i \\ (\mathbf{A}_i^{p(i)}\boldsymbol{\omega}_{p(i),p(i)}) \times \boldsymbol{\omega}_{i,p(i)} \end{bmatrix}$$

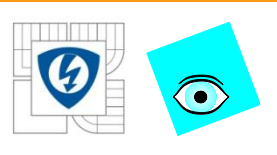
$$\Phi_i = [0, 0, 1, 0, 0, 0]$$

$$\Phi_i = [0, 0, 0, 0, 0, 1]$$

- Pro kompozitní popis pohybových rovnic

$$\mathbf{I}^P \mathbf{a}^P = \mathbf{F}^P + \boldsymbol{\beta}^P \quad \mathbf{I}^P = \begin{bmatrix} m\mathbf{E} & m\tilde{\mathbf{d}}^T \\ m\tilde{\mathbf{d}} & \mathbf{I}_P \end{bmatrix} \quad \boldsymbol{\beta}^P = - \begin{bmatrix} m\boldsymbol{\omega} \times (\boldsymbol{\omega} \times \mathbf{d}) \\ \boldsymbol{\omega} \times \mathbf{I}_P \boldsymbol{\omega} \end{bmatrix}$$

$$\mathbf{a}^P = \begin{bmatrix} \mathbf{a}_P \\ \boldsymbol{\alpha} \end{bmatrix} \quad \mathbf{F}^P = \begin{bmatrix} \mathbf{F} \\ \mathbf{M}_P \end{bmatrix}$$



Rekurzivní metody sestavování pohybových rovnic

- Kompozitní tuhá tělesa

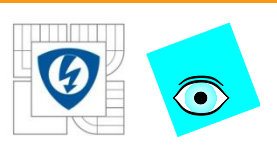
$$M\ddot{q} = Q$$

$$\begin{aligned} I_n &= I_n^H \\ I_{j-1} &= I_{j-1}^H + C_j^T I_j C_j, \quad j = n, \dots, 2 \end{aligned}$$

$$\begin{aligned} J_j^j &= I_j \Phi_j, \quad j = n, \dots, 1 \\ J_j^{k-1} &= C_k^T J_j^k, \quad k = j, \dots, 2 \\ M_{jk} &= \Phi_k^T J_j^k, \quad k = j, \dots, 1 \end{aligned}$$

$$\left. \begin{aligned} F_j &= -I_j^H \underline{a}_j^H + F_j^H + \beta_j^H \\ K_n &= F_n \\ K_{j-1} &= F_{j-1} + C_j^T K_j \\ Q_j &= \Phi_j^T K_j \end{aligned} \right\} j = n, \dots, 2$$

$$F_j = \begin{bmatrix} \mathbf{E} & \mathbf{0} \\ \bar{\mathbf{d}}_j & \mathbf{E} \end{bmatrix} (-I_j^S \underline{a}_j^S + F_j^S + \beta_j^S)$$



Rekurzivní metody sestavování pohybových rovnic

- Člankové matice setrvačnosti

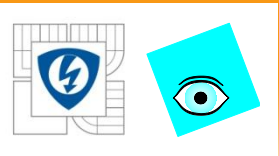
$$\mathbf{c}_i, \Phi_i, \boldsymbol{\eta}_i, \mathbf{F}_{Ei}^H, \boldsymbol{\beta}_i^H$$

$$\mathbf{M}_i = \Phi_i^T \mathbf{I}_i^H \Phi_i$$

$$\begin{aligned} \mathbf{P}_i &= \mathbf{E} - \mathbf{I}_i^H \Phi_i \mathbf{M}_i^{-1} \Phi_i^T \\ \mathbf{N}_i &= (\mathbf{E} - \mathbf{I}_i^H \Phi_i \mathbf{M}_i^{-1} \Phi_i^T) \mathbf{I}_i^H = \mathbf{P}_i \mathbf{I}_i^H \\ \boldsymbol{\gamma}_i &= \mathbf{N}_i \boldsymbol{\eta}_i - \mathbf{P}_i (\mathbf{F}_{Ei}^H + \boldsymbol{\beta}_i^H) \end{aligned}$$

$$\begin{aligned} \mathbf{I}_{p(i)}^{H*} &= \mathbf{I}_{p(i)}^H + \mathbf{C}_i^T \mathbf{N}_i \mathbf{C}_i \\ \boldsymbol{\beta}_{p(i)}^{H*} &= \boldsymbol{\beta}_{p(i)}^H - \mathbf{C}_i^T \boldsymbol{\gamma}_i \end{aligned}$$

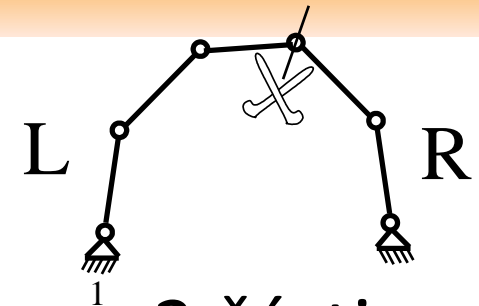
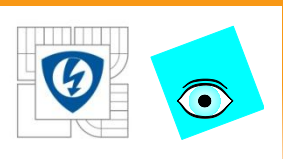
$$\ddot{\mathbf{s}}_i = \mathbf{M}_i^{-1} \Phi_i^T (\mathbf{F}_{Ei}^H + \boldsymbol{\beta}_i^H - \mathbf{I}_i^H (\mathbf{C}_i \mathbf{a}_{p(i)}^H + \boldsymbol{\eta}_i))$$



Fyzikální interpretace Lagrangeových multiplikátorů

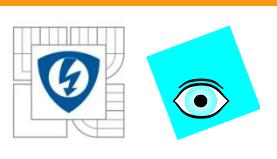
- Většina metod pro sestavení pohybových rovnic Lagrangeovy multiplikátory/reakční síly buď eliminuje analyticky nebo je následně ignoruje.
- Jsou však případy, kdy to nelze – např. systémy se třením. Pro vyjádření třecích sil potřebujeme znát reakční síly a to v rámci řešení pohybových rovnic, ne až po jejich vyřešení.
- Lagrangeovy multiplikátory sice mají vždy obecnou interpretaci reakčních sil, ale pro konkrétní použití potřebujeme jejich správnou fyzikální interpretaci jako tradičních reakčních sil.

Fyzikální interpretace Lagrangeových multiplikátorů



- Kinematická smyčka rozdělena řezem na 2 části
- Popis rozdělen na levou a pravou stranu:
 - Souřadnice $s_j^L (s_j^R)$
 - Kinetická energie $T^L = T^L(s_j^L, \dot{s}_j^L, t)$
 - Obecné síly Q_j^L
 - Vazby $g_k^L = 0$
- Kinematické vazby v řezu vyjádřeny

$$g_l(s_j^L, \dot{s}_j^L, \dots, s_j^{(h)L}, s_j^R, \dot{s}_j^R, \dots, s_j^{(h)R}, t) = 0$$



Fyzikální interpretace Lagrangeových multiplikátorů

- Levá strana soustavy je popsána

$$\frac{d}{dt} \frac{\partial T^L}{\partial \dot{s}_j^L} - \frac{\partial T^L}{\partial s_j^L} = Q_j^L + \sum_k \lambda_k^L \frac{\partial g_k^L}{\partial s_j^{(h)L}} + \sum_l R_l^L \frac{\partial u_l^L}{\partial s_j^L}$$

- Síly R_l^L působí na souřadnicích u_l^L z pravé na levou stranu

$$T(s_j, \dot{s}_j, t) = T^L(s_j^L, \dot{s}_j^L, t) + T^R(s_j^R, \dot{s}_j^R, t)$$

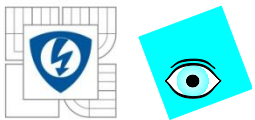
$$g_l(s_j^L, \dot{s}_j^L, \dots, s_j^{(h)L}, s_j^R, \dot{s}_j^R, \dots, s_j^{(h)R}, t) =$$

$$= G_l(u_l^L(s_j^L, t), \dots, u_l^{(h)L}(s_j^L, t), u_l^R(s_j^R, t), \dots, u_l^{(h)R}(s_j^R, t), t) = 0$$

- Spojený systém je popsán

$$g_l(s_j^L, \dots, s_j^R, \dots, t) = G_l(u_l^L, \dots, u_l^R, \dots, t) =$$

$$= G_l^L(u_l^L, \dots, t) - G_l^R(u_l^R, \dots, t) = 0$$



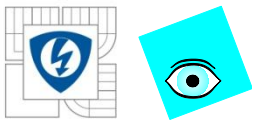
$$\frac{d}{dt} \frac{\partial T}{\partial \dot{s}_j^L} - \frac{\partial T}{\partial s_j^L} = Q_j^L + \sum_k \lambda_k^L \frac{\partial g_k^L}{\partial s_j^{(h)L}} + \sum_l \lambda_l \frac{\partial g_l}{\partial s_j^{(h)L}}$$

$$\frac{\partial g_l^R(s_j^R, \dots, t)}{\partial s_j^{(h)L}} = 0$$

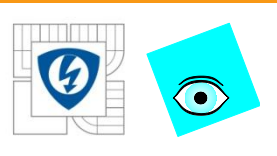
$$\frac{d}{dt} \frac{\partial T}{\partial \dot{s}_j^L} - \frac{\partial T}{\partial s_j^L} = \frac{d}{dt} \frac{\partial T^L}{\partial \dot{s}_j^L} - \frac{\partial T^L}{\partial s_j^L}$$

$$\sum_l R_l^L \frac{\partial u_l^L}{\partial s_j^L} = \sum_m \lambda_m \frac{\partial g_m}{\partial s_j^{(h)L}}$$

$$\frac{\partial g_m}{\partial s_j^{(h)L}} = \sum_l \frac{\partial G_m}{\partial u_l^{(h)L}} \frac{\partial u_l^{(h)L}}{\partial s_j^{(h)L}} = \sum_l \frac{\partial G_m}{\partial u_l^{(h)L}} \frac{\partial u_l^L}{\partial s_j^L}$$



$$\begin{aligned}\sum_l R_l^L \frac{\partial u_l^L}{\partial s_j^L} &= \sum_m \lambda_m \sum_l \frac{\partial G_m}{\partial u_l^{(h)L}} \frac{\partial u_l^L}{\partial s_j^L} = \\ &= \sum_l \sum_m \lambda_m \frac{\partial G_m}{\partial s_j^{(h)L}} \frac{\partial u_l^L}{\partial s_j^L} \\ \sum_l \left(R_l^L - \sum_m \lambda_m \frac{\partial G_m}{\partial u_l^{(h)L}} \right) \frac{\partial u_l^L}{\partial s_j^L} &= 0\end{aligned}$$

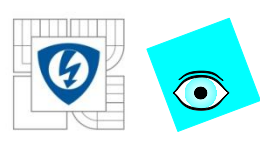


Fyzikální interpretace Lagrangeových multiplikátorů

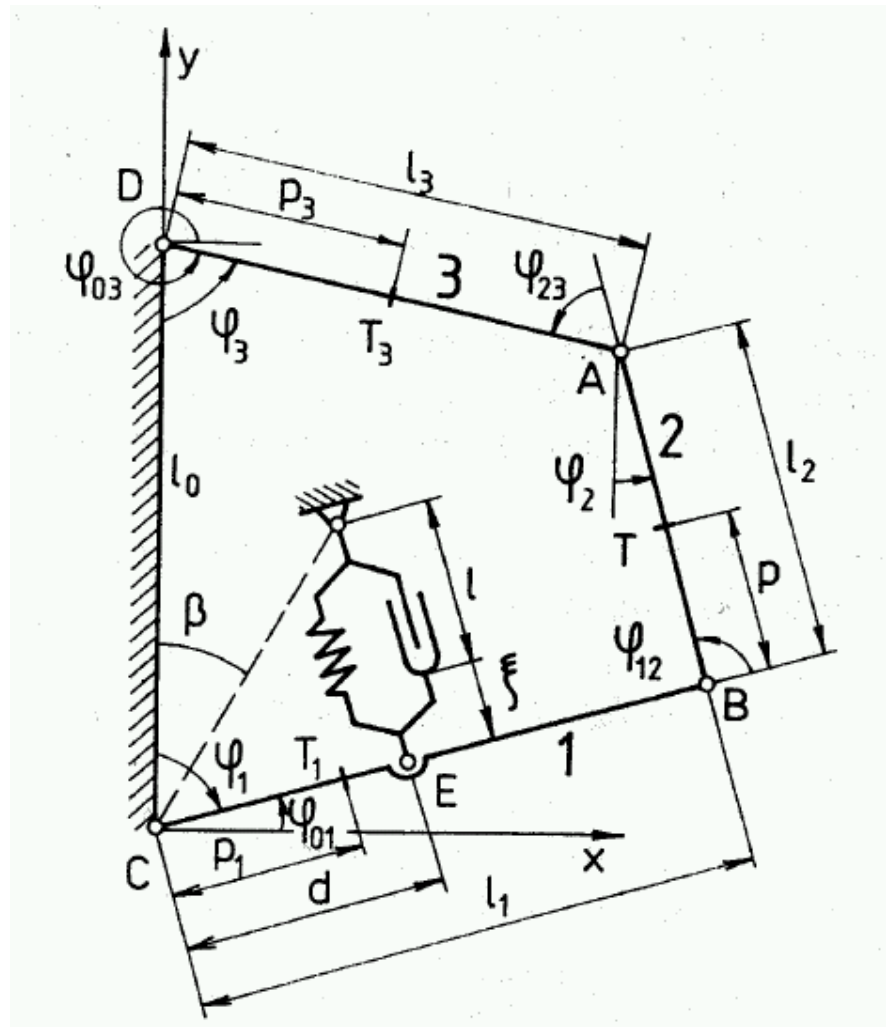
- Obecné vyjádření reakčních sil Lagrangeovými multiplikátory

$$R_l^L = \sum_m \lambda_m \frac{\partial G_m}{\partial u_l^{(h)L}}$$

- Například $G_l = u_l^L - u_l^R$
- pak $R_l^L = \lambda_l$ and $R_l^R = -\lambda_l$
- Např. pro sférický kloub



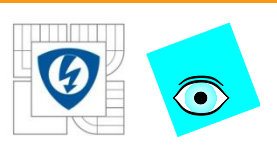
Příklad – rovinné lichoběžníkové zavěšení kola automobilu



25.2.2011

INVESTICE DO ROZVOJE VZDĚLÁVÁNÍ





Příklad – rovinné lichoběžníkové zavěšení kola automobilu

- Souřadnice
- Kinetická energie

$$T = \frac{1}{2}(I_1\dot{\varphi}_1^2 + I_2T\dot{\varphi}_2^2 + m_2(\dot{x}_2^2 + \dot{y}_2^2) + I_3\dot{\varphi}_3^2)$$

$$x_2 = l_1 s \varphi_1 - p s \varphi_2$$

$$y_2 = l_1 c \varphi_1 + p c \varphi_2$$

$$\dot{x}_2^2 + \dot{y}_2^2 = l_1^2 \dot{\varphi}_1^2 + p^2 \dot{\varphi}_2^2 - 2l_1 p c (\varphi_1 + \varphi_2) \dot{\varphi}_1 \dot{\varphi}_2$$

- Vazby

$$f_1 \equiv l_1 s \varphi_1 - l_2 s \varphi_2 - l_3 s \varphi_3 = 0$$

- Zobecněné síly

$$f_2 \equiv l_1 c \varphi_1 + l_2 c \varphi_2 + l_3 c \varphi_3 - l_0 = 0$$

– Síla pružiny a tlumiče $F(\xi, \dot{\xi})$ působí na souřadnici ξ

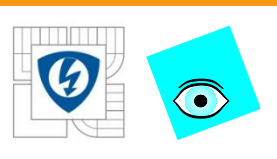
$$Q_j = \sum_l P_l \frac{\partial p_l}{\partial s_j}$$

$$Q_j \delta s_j = \sum_h P_h \delta p_h$$

$$(l + \xi)^2 = l^2 + 2d^2 - 2d\sqrt{l^2 + d^2}c(\varphi_1 - \beta)$$

$$\xi = \sqrt{a - 2bc(\varphi_1 - \beta)} - l$$

$$a = l^2 + 2d^2 \text{ and } b = d\sqrt{l^2 + d^2}$$



Příklad – rovinné lichoběžníkové zavěšení kola automobilu

- Lagrangeovy multiplikátory λ_1, λ_2 jsou rovny reakčním silám v rotační dvojici A

$$T_2 = \frac{1}{2}m_2(\dot{x}_2^2 + \dot{y}_2^2) + \frac{1}{2}I_{2T}\dot{\varphi}_2^2$$

- Pokud je popis kinetické energie

$$x_2 = l_3 s\varphi_3 + (l_2 - p)s\varphi_2$$

$$y_2 = l_0 - l_3 c\varphi_3 - (l_2 - p)c\varphi_2$$

- Pak Lagrangeovy multiplikátory λ_1, λ_2 jsou rovny reakčním silám v rotačním kloubu B

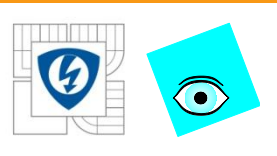
- Ale pokud popis kinetické energie je

$$T_2 = \frac{1}{2}m_2(\dot{x}_2^2 + \dot{y}_2^2) + \frac{1}{2}I_{2T}\dot{\varphi}_2^2$$

$$x_2 = l_1 s\varphi_1 - p s\varphi_2$$

$$y_2 = l_0 - l_3 c\varphi_3 - (l_2 - p)c\varphi_2$$

- pak Lagrangeovy multiplikátory λ_1, λ_2 nemají ŽÁDNOU přímou jednoduchou interpretaci

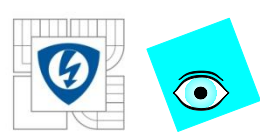


Fyzikální interpretace Lagrangeových multiplikátorů

- Pro detailní odvození správných interpretací Lagrangeových multiplikátorů v komplexních případech jako reakční momenty je nutné užít ekvivalenci pravých stran N-E a LEMT

$$Q_j + \sum_{k=1}^r \lambda_k \frac{\partial g_k}{\partial s_j^{(h)}} = \sum_i \left(\mathbf{F}_i^T \frac{\partial \mathbf{v}_i}{\partial \dot{s}_j} + \mathbf{M}_i^T \frac{\partial \omega_i}{\partial \dot{s}_j} \right)$$

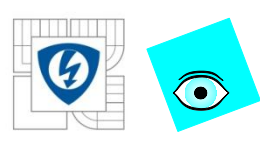
$$\begin{aligned} \lambda^T \frac{\partial \mathbf{G}_l}{\partial s_j^L} \delta s_j^L &= \lambda^T \frac{\partial (\mathbf{G}_l^L - \mathbf{G}_l^R)}{\partial s_j^L} \delta s_j^L = \lambda^T \frac{\partial \mathbf{G}_l^L}{\partial s_j^L} \delta s_j^L = \\ &= \left(\mathbf{F}_i^T \frac{\partial \mathbf{v}_{1i}}{\partial \dot{s}_j^L} + \mathbf{M}_i^T \frac{\partial \omega_{1i}}{\partial \dot{s}_j^L} \right) \delta s_j^L \end{aligned}$$



Fyzikální interpretace Lagrangeových multiplikátorů - holonomně

Kinematic pair	Holonomic constraint G_i^L $h = 0$	Number of λ	Interpretation Newton $(\)^T \partial \mathbf{v}_{1i} / \partial \dot{s}_j^L$
spherical	$\mathbf{r}_{1i} + \mathbf{S}_{1i} \mathbf{r}_{iA}$	3	λ
revolute	$\mathbf{r}_{1i} + \mathbf{S}_{1i} \mathbf{r}_{iB}$	3	λ
	$\mathbf{S}_{1i} \mathbf{z}_{i,B}^0$	3(2)	0
prismatic	$(\mathbf{r}_{1i} + \mathbf{S}_{1i} \mathbf{r}_{iP}) \times (\mathbf{S}_{1i} \mathbf{z}_{i,P}^0) = -\mathbf{Z}_{1,iP}^0 (\mathbf{r}_{1i} + \mathbf{S}_{1i} \mathbf{r}_{iP})$	3(2)	$\mathbf{z}_{1,iP}^0 \times \lambda$
	$\mathbf{S}_{1i} \mathbf{S}_{iP}$	3	0
cylindrical	$(\mathbf{r}_{1i} + \mathbf{S}_{1i} \mathbf{r}_{iV}) \times (\mathbf{s}_{1i} \mathbf{z}_{i,V}^0) = -\mathbf{Z}_{1,iV}^0 (\mathbf{r}_{1i} + \mathbf{S}_{1i} \mathbf{r}_{iV})$	3(2)	$\mathbf{z}_{1,iV}^0 \times \lambda$
	$\mathbf{S}_{1i} \mathbf{z}_{i,V}^0$	3(2)	0
flat	$\mathbf{r}_{1Li} (\mathbf{S}_{1i} \mathbf{z}_{i,L}^0)^T$	1	$\mathbf{S}_{1i} \lambda \mathbf{z}_{i,L}^0$
	$\mathbf{S}_{1i} \mathbf{z}_{i,L}^0$	3(2)	0

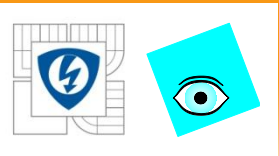
Interpretation Euler $(\)^T \partial \boldsymbol{\omega}_{1i} / \partial \dot{s}_j^L$	Interpretation as reaction force	Point of action frame
$\mathbf{r}_{iA} \times \mathbf{S}_{1i}^{-1} \lambda$	$\lambda = \mathbf{R}_{1,A}$	A, frame
$\mathbf{r}_{iB} \times \mathbf{S}_{1i}^{-1} \lambda$	$\lambda = \mathbf{R}_{1,B}$	B, frame
$\mathbf{S}_{1i}^{-1} (\mathbf{z}_{1,iB}^0 \times \lambda) = \mathbf{z}_{i,B}^0 \times \mathbf{S}_{1i}^{-1} \lambda$	$\mathbf{z}_{1,iB}^0 \times \lambda = \mathbf{S}_{1i} \mathbf{S}_{iB} [M_{x,B}, M_{y,B}, 0]^T$	0, frame
$\mathbf{r}_{iP} \times \mathbf{S}_{1i}^{-1} (\mathbf{z}_{1,iP}^0 \times \lambda) + \mathbf{z}_{i,P}^0 \times \mathbf{S}_{1i}^{-1} (\mathbf{r}_{1Pi} \times \lambda)$	$\mathbf{z}_{1,iP}^0 \times \lambda = \mathbf{R}_{1,P}$ and a part of moment $M_{P,P}$	P, frame
$\mathbf{S}_{1i}^{-1} (\mathbf{x}_{1,iP}^0 \times \lambda)$ $\mathbf{S}_{1i}^{-1} (\mathbf{y}_{1,iP}^0 \times \lambda)$ $\mathbf{S}_{1i}^{-1} (\mathbf{z}_{1,iP}^0 \times \lambda)$	$\mathbf{x}_{1,iP}^0 \times \lambda = \mathbf{S}_{1i} \mathbf{S}_{iP} [0, M_{y,P}, M_{z,P}]^T$ $\mathbf{y}_{1,iP}^0 \times \lambda = \mathbf{S}_{1i} \mathbf{S}_{iP} [M_{x,P}, 0, M_{z,P}]^T$ $\mathbf{z}_{1,iP}^0 \times \lambda = \mathbf{S}_{1i} \mathbf{S}_{iP} [M_{x,P}, M_{y,P}, 0]^T$	0, frame
$\mathbf{r}_{iV} \times \mathbf{S}_{1i}^{-1} (\mathbf{z}_{1,iV}^0 \times \lambda) + \mathbf{z}_{i,V}^0 \times \mathbf{S}_{1i}^{-1} (\mathbf{r}_{1Vi} \times \lambda)$	$\mathbf{z}_{1,iV}^0 \times \lambda = \mathbf{R}_{1,V}$ and a part of moment $M_{V,V}$	V, frame
$\mathbf{S}_{1i}^{-1} (\mathbf{z}_{1,iV}^0 \times \lambda)$	$\mathbf{z}_{1,iV}^0 \times \lambda = \mathbf{S}_{1i} \mathbf{S}_{iV} [M_{x,V}, M_{y,V}, 0]^T$	0, frame
$-\mathbf{S}_{1i}^{-1} \mathbf{r}_{1i} \times \lambda \mathbf{z}_{i,L}^0$	$\lambda = R_{x,L}$	origin of frame, flat KP
$\mathbf{S}_{1i}^{-1} (\mathbf{z}_{1,iL}^0 \times \lambda)$	$\mathbf{z}_{1,iL}^0 \times \lambda = \mathbf{S}_{1i} \mathbf{S}_{iL} [M_{x,L}, M_{y,L}, 0]^T$	0, frame



Fyzikální interpretace Lagrangeových multiplikátorů - neholonomně

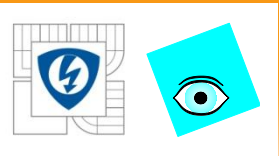
Kinematic pair	Nonholonomic constraint G_i^L $h = 1$	Number of λ	Interpretation Newton $(\)^T \partial \mathbf{v}_{1i} / \partial \dot{s}_j^L$
spherical	$\mathbf{v}_{1i} + \mathbf{S}_{1i} \Omega_{1i} \mathbf{r}_{iA}$	3	λ
revolute	$\mathbf{v}_{1i} + \mathbf{S}_{1i} \Omega_{1i} \mathbf{r}_{iB}$	3	λ
	$\omega_{1Bi x,y}$ $(\mathbf{S}_{1j} \mathbf{S}_{jB})^{-1} (\mathbf{S}_{1i} \mathbf{S}_{iB}) \omega_{1Bi x,y}$	2 2	0 0
prismatic	$\mathbf{S}_{1Pi}^{-1} \mathbf{v}_{1i} - \mathbf{S}_{1Pi}^{-1} \Omega_{1i} \mathbf{S}_{1i}^{-1} \mathbf{r}_{1i,x,y}$	2	$\mathbf{S}_{1Pi} [\lambda_x, \lambda_y, 0]^T$
	$\mathbf{S}_{1Pi}^{-1} \omega_{1i}$	3	0
cylindrical	$\mathbf{S}_{1Vi}^{-1} (\mathbf{v}_{1i} + \mathbf{S}_{1i} \Omega_{1i} \mathbf{r}_{iV}) _{x,y}$	2	$\mathbf{S}_{1Vi} [\lambda_x, \lambda_y, 0]^T$
	$\mathbf{S}_{1Vj}^{-1} (\mathbf{v}_{1Vi} + \mathbf{S}_{1Vi} \Omega_{1Vi} \cdot \mathbf{S}_{1Vj}^{-1} (\mathbf{r}_{1Vi} - \mathbf{r}_{1Vj})) _{x,y}$	2	$\mathbf{S}_{1Vj} [\lambda_x, \lambda_y, 0]^T$
flat	$\omega_{1Vi x,y}$ $(\mathbf{S}_{1j} \mathbf{S}_{jV})^{-1} (\mathbf{S}_{1i} \mathbf{S}_{iV}) \omega_{1Vi x,y}$	2 2	0 0
	$\mathbf{S}_{1Li}^{-1} \mathbf{v}_{1Li} _z$ $\mathbf{S}_{1Lj}^{-1} (\mathbf{v}_{1Li} + \mathbf{S}_{1Li} \Omega_{1Li} \mathbf{S}_{1Li}^{-1} \cdot (\mathbf{r}_{1Lj} - \mathbf{r}_{1Li})) _z$	1 1	$\mathbf{S}_{1Li} [0, 0, \lambda]^T$ $\mathbf{S}_{1Lj} [0, 0, \lambda]^T$
flat	$\omega_{1Li x,y}$ $\mathbf{S}_{1Lj}^{-1} \mathbf{S}_{1Li} \omega_{1Li x,y}$	2 2	0

Interpretation Euler $(\)^T \partial \omega_{1i} / \partial \dot{s}_j^L$	Interpretation as reaction force	Point of action, coordinate system
$\mathbf{r}_{iA} \times \mathbf{S}_{1i}^{-1} \lambda$	$\lambda = \mathbf{R}_{1,A}$	A, frame
$\mathbf{r}_{iB} \times \mathbf{S}_{1i}^{-1} \lambda$	$\lambda = \mathbf{R}_{1,B}$	B, frame
$\mathbf{S}_{iB} [\lambda_x, \lambda_y, 0]^T$ $\mathbf{S}_{1i}^{-1} \mathbf{S}_{1j} \mathbf{S}_{jB} [\lambda_x, \lambda_y, 0]^T$	$\lambda_x = M_{x,Bi}$ $\lambda_y = M_{y,Bi}$ $\lambda_x = M_{x,Bj}$ $\lambda_y = M_{y,Bj}$	0, revolute KP, B_i 0, revolute KP, B_j
$-\mathbf{S}_{1i}^{-1} (\mathbf{r}_{1i} \times \mathbf{S}_{1Pi} [\lambda_x, \lambda_y, 0]^T)$	$\lambda_x = R_{x,P}$ $\lambda_y = R_{y,P}$	origin of frame, prismatic KP
$\mathbf{S}_{iP} \lambda$	$\lambda = M_{P,P}$	0, prismatic KP
$\mathbf{r}_{iV} \times \mathbf{S}_{iV} [\lambda_x, \lambda_y, 0]^T$ $\mathbf{r}_{iV} \times \mathbf{S}_{1i}^{-T} \mathbf{S}_{1Vj} [\lambda_x, \lambda_y, 0]^T + \mathbf{S}_{1i}^{-1} ((\mathbf{r}_{1Vj} - \mathbf{r}_{1Vi}) \cdot \mathbf{S}_{1Vj} [\lambda_x, \lambda_y, 0]^T)$	$\lambda_x = R_{x,Vi}$ $\lambda_y = R_{y,Vi}$ $\lambda_x = R_{x,Vj}$ $\lambda_y = R_{y,Vj}$	V_i , cylindrical KP, V_i V_j , cylindrical KP, V_j
$\mathbf{S}_{iV} [\lambda_x, \lambda_y, 0]^T$ $\mathbf{S}_{1i}^{-T} \mathbf{S}_{1j} \mathbf{S}_{jV} [\lambda_x, \lambda_y, 0]^T$	$\lambda_x = M_{x,Vi}$ $\lambda_y = M_{y,Vi}$ $\lambda_x = M_{x,Vj}$ $\lambda_y = M_{y,Vj}$	0, cylindrical KP, V_i 0, cylindrical KP, V_j
$\mathbf{r}_{iL} \times \mathbf{S}_{iL} [0, 0, \lambda]^T$ $\mathbf{r}_{iL} \times \mathbf{S}_{1i}^{-1} \mathbf{S}_{1Lj} [0, 0, \lambda]^T + \mathbf{S}_{1i}^{-1} ((\mathbf{r}_{1Lj} - \mathbf{r}_{1Li}) \cdot \mathbf{S}_{1Lj} [0, 0, \lambda]^T)$	$\lambda = R_{z,Li}$ $\lambda = R_{z,Lj}$	L_i , flat KP, L_i L_j , flat KP, L_j
$\mathbf{S}_{1Lj} [\lambda_x, \lambda_y, 0]^T$ $\mathbf{S}_{1i}^{-1} \mathbf{S}_{1Lj} [\lambda_x, \lambda_y, 0]^T$	$\lambda_x = M_{x,Li}$ $\lambda_y = M_{y,Li}$ $\lambda_x = M_{x,Lj}$ $\lambda_y = M_{y,Lj}$	0, flat KP, L_i 0, flat KP, L_j



Pohybové rovnice soustavy poddajných těles

- Všechny mechanické systémy jsou v realitě podajné
- Proto sestavení modelu obsahujícího poddajnosti je nutné
- Existuje několik konkurenčních přístupů k sestavení pohybových rovnic soustavy poddajných těles



Pohybové rovnice soustavy poddajných těles – tradiční přístupy

Metoda konečných prvků

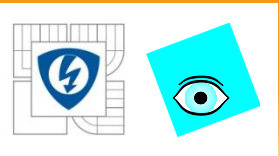
- Poddajná tělesa
- Malé pohyby
- Statická & Modální analýza

Metoda soustav mnoha těles

- Tuhá tělesa
- Velké pohyby
- Analýza přechodového děje

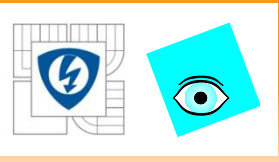
$$M\ddot{\mathbf{q}} + C\dot{\mathbf{q}} + K\mathbf{q} = \mathbf{f}_{ext} \quad \left| \left| \begin{array}{l} M(\mathbf{q})\ddot{\mathbf{q}} + C(\mathbf{q}, \dot{\mathbf{q}})\dot{\mathbf{q}} = \mathbf{f}_{ext} - \Phi_{\mathbf{q}}^T \boldsymbol{\lambda} \\ \Phi(\mathbf{q}, t) = 0 \end{array} \right. \right|$$

Jak je spojit?



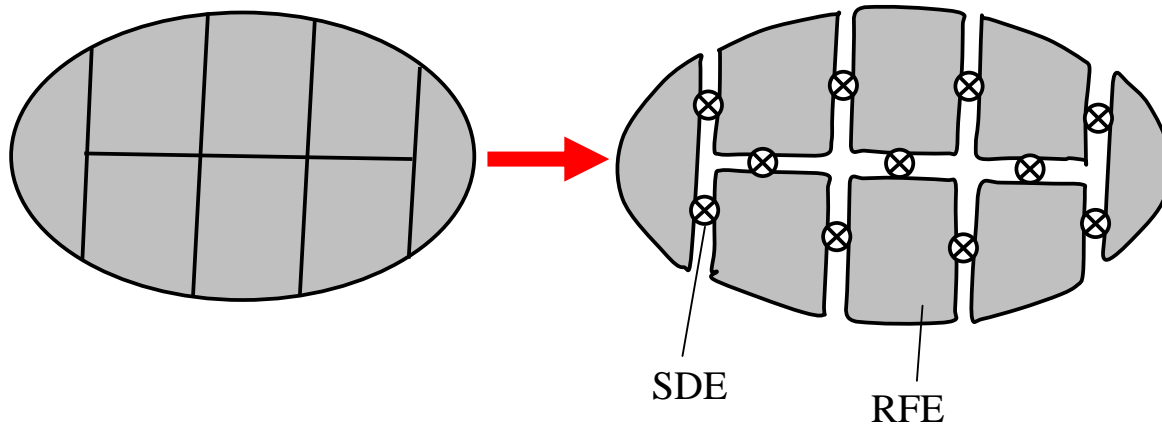
Pohybové rovnice soustavy poddajných těles – alternativní přístupy

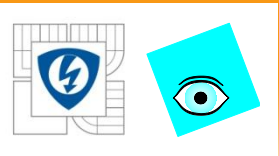
- Modelování jako tuhá podtělesa spojená koncentrovanými poddajnostmi (tzv. Rigid Finite Elements)
- Metoda absolutních souřadnic uzlů MKP sítě (tzv. Absolute Nodal Coordinates)
- Metoda popisu poddajnosti jako superpozice malých pohybů frekvenčních a deformačních módů přičtených k velkému pohybu tuhého tělesa



Pohybové rovnice soustavy poddajných těles

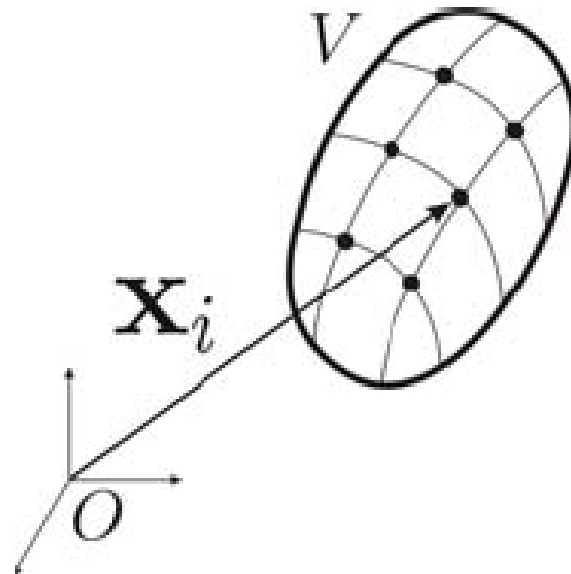
- Tuhá podtělesa spojená koncentrovanými poddajnostmi
- Intuitivní přístup -> systematický přístup jako RFE

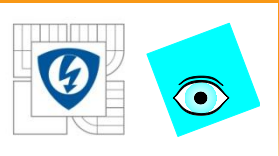




Pohybové rovnice soustavy poddajných těles

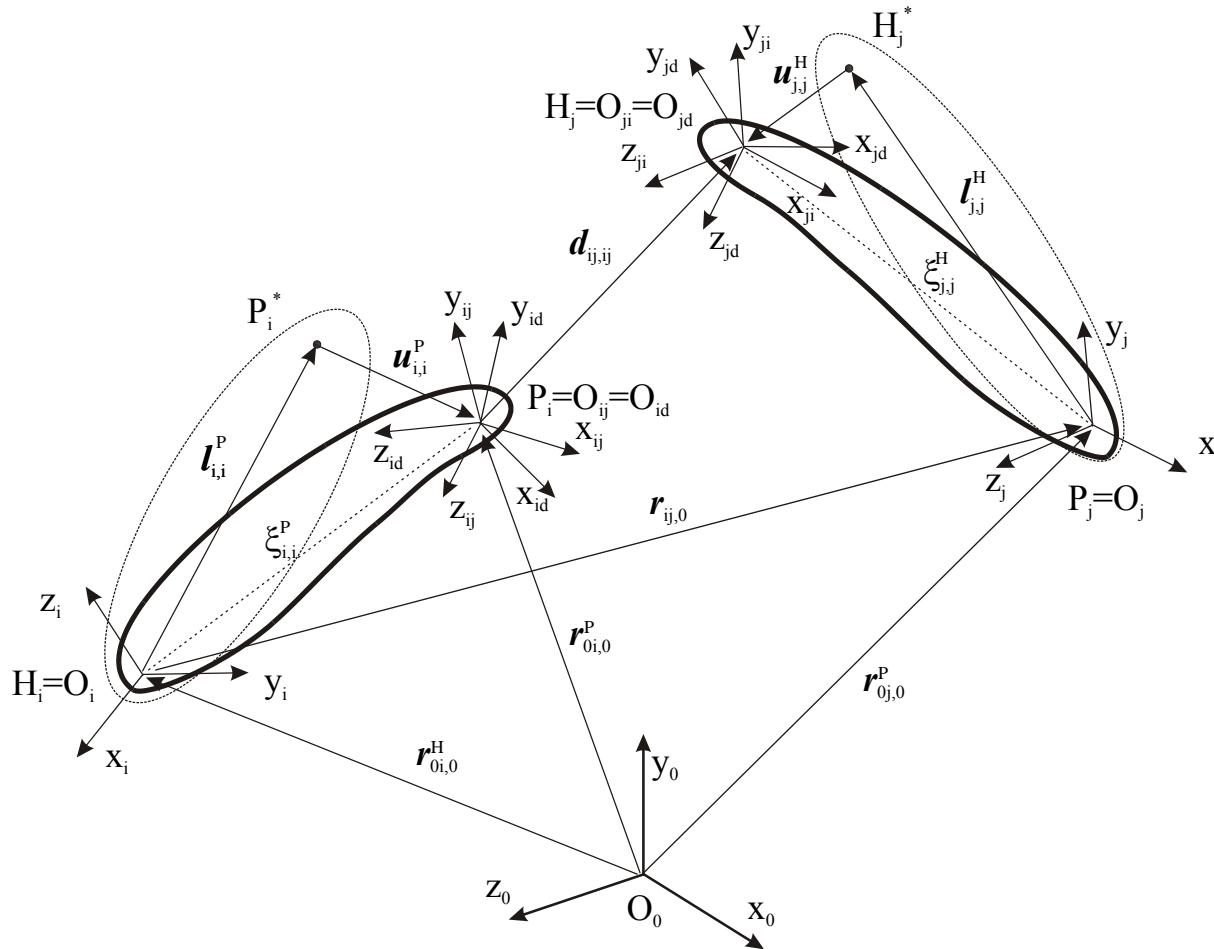
- Absolutní souřadnice uzlů MKP sítě
- Žádný rozdíl mezi tuhými a poddajnými tělesy

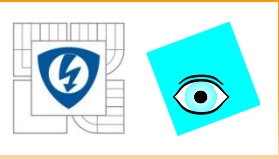




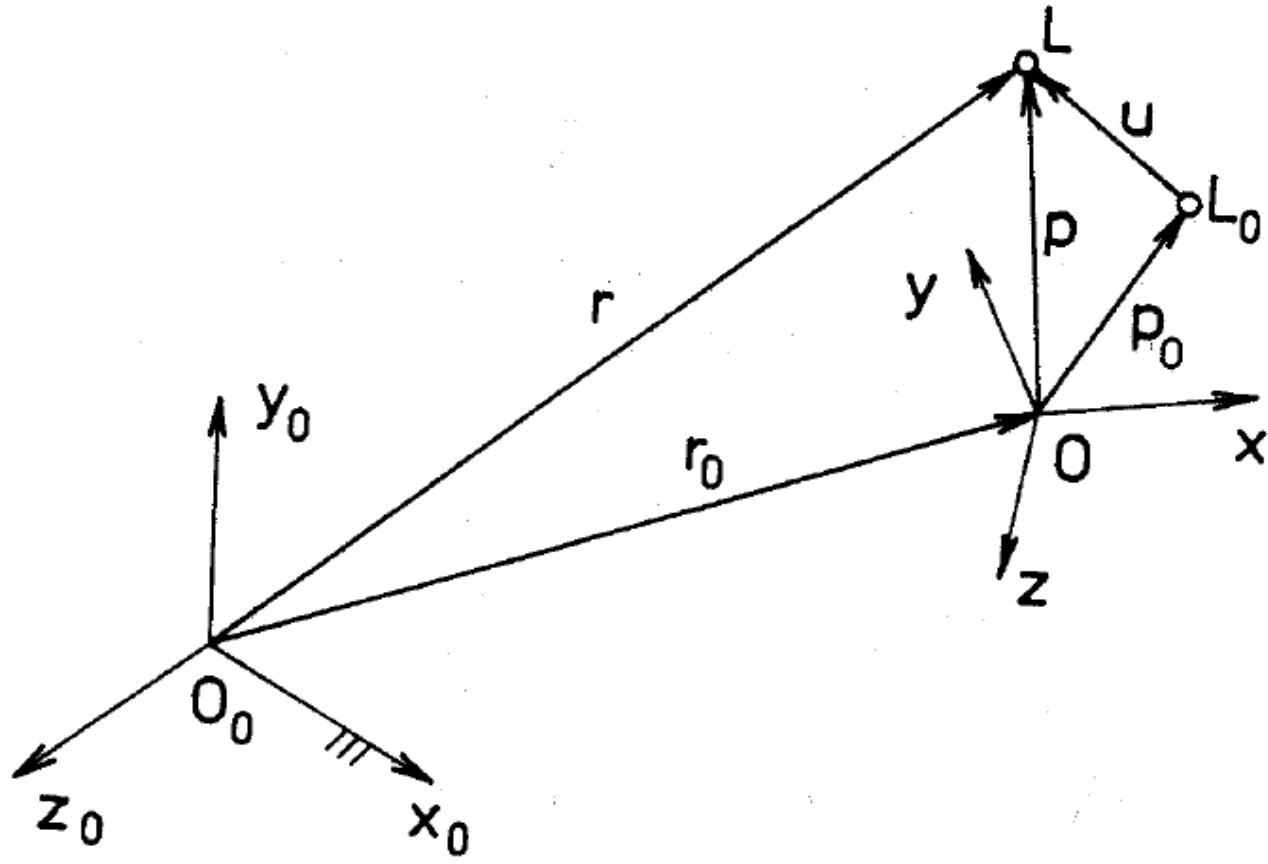
Pohybové rovnice soustavy poddajných těles

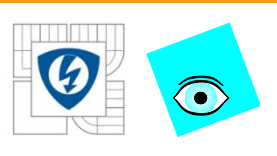
- Tuhé + poddajné souřadnice





Pohybové rovnice soustavy poddajných těles





Pohybové rovnice soustavy poddajných těles

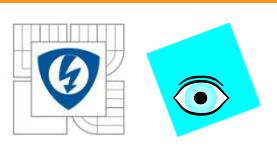
$$\mathbf{p} = \mathbf{p}_0 + \mathbf{u}$$

$$\mathbf{u} = \mathbf{N}\mathbf{v}^e$$

$$\mathbf{p}_0 = \mathbf{N}\mathbf{V}^e$$

$$\mathbf{r} = \mathbf{r}_0 + \mathbf{S}\mathbf{p} = \mathbf{r}_0 + \mathbf{S}(\mathbf{p}_0 + \mathbf{u}) = \mathbf{r}_0 + \mathbf{S}\mathbf{N}\mathbf{V}^e + \mathbf{S}\mathbf{N}\mathbf{v}^e$$

$$\begin{aligned}\dot{\mathbf{r}} &= \dot{\mathbf{r}}_0 + \dot{\mathbf{S}}\mathbf{N}(\mathbf{V}^e + \mathbf{v}^e) + \mathbf{S}\mathbf{N}\dot{\mathbf{v}}^e = \\ &= \dot{\mathbf{r}}_0 + \mathbf{S}\boldsymbol{\Omega}\mathbf{N}(\mathbf{V}^e + \mathbf{v}^e) + \mathbf{S}\mathbf{N}\dot{\mathbf{v}}^e\end{aligned}$$



Pohybové rovnice soustavy poddajných těles

$$\mathbf{S}\Omega\mathbf{N}\mathbf{V}^e = \mathbf{S}\Omega\mathbf{z} = -\mathbf{S}\mathbf{Z}\boldsymbol{\omega} = -\mathbf{S}\mathbf{Z}\mathbf{D}\dot{\boldsymbol{\varphi}} = \mathbf{B}^e\dot{\boldsymbol{\varphi}}$$

$$\mathbf{z} = \mathbf{N}\mathbf{V}^e, \quad \boldsymbol{\omega} = \mathbf{D}\dot{\boldsymbol{\varphi}}, \quad \mathbf{B}_1 = -\mathbf{S}\mathbf{Z},$$

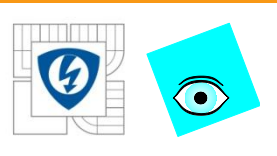
$$\mathbf{S}\Omega\mathbf{N}\mathbf{V}^e = \mathbf{B}_1\boldsymbol{\omega} = \mathbf{B}^e\dot{\boldsymbol{\varphi}}$$

$$\dot{\boldsymbol{\varphi}} = [\dot{\varphi}_x, \dot{\varphi}_y, \dot{\varphi}_z]$$

$$\dot{\mathbf{r}} = [\mathbf{E}, \mathbf{B}^e, \mathbf{S}\mathbf{N}] \begin{bmatrix} \dot{\mathbf{r}}_0 \\ \dot{\boldsymbol{\varphi}} \\ \dot{\mathbf{v}}^e \end{bmatrix}$$

$$T^e = \frac{1}{2} \int_{(m^e)} \dot{\mathbf{r}}^T \dot{\mathbf{r}} dm = \frac{1}{2} \dot{\mathbf{q}}^{eT} \mathbf{M}^e \dot{\mathbf{q}}^e$$

$$\dot{\mathbf{q}}^e = [\dot{\mathbf{r}}_0, \dot{\boldsymbol{\varphi}}, \dot{\mathbf{v}}^e]$$



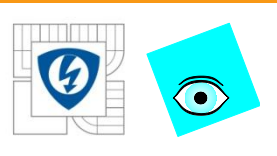
Pohybové rovnice soustavy poddajných těles

$$\mathbf{M}^e = \int_{(m^e)} \begin{bmatrix} \mathbf{E} & \mathbf{B}^e & \mathbf{SN} \\ \text{sym} & \mathbf{B}^{eT} \mathbf{B}^e & \mathbf{B}^{eT} \mathbf{SN} \\ & & \mathbf{N}^T \mathbf{N} \end{bmatrix} dm$$

$$T_b = \sum_e T^e = \frac{1}{2} \dot{\mathbf{q}}_b^T \mathbf{M}_b \dot{\mathbf{q}}_b$$

$$\mathbf{M}_b = \begin{bmatrix} m_b \mathbf{E} & \bar{\mathbf{B}} & \mathbf{SN} \\ & \hat{\mathbf{B}} & \bar{\mathbf{B}} \\ \text{sym} & & \mathbf{M}_v \end{bmatrix}$$

$$\dot{\mathbf{q}}_b = [\dot{\mathbf{r}}_0, \dot{\varphi}, \dot{\mathbf{v}}]$$

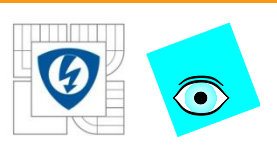


Pohybové rovnice soustavy poddajných těles

$$\Pi^e = \frac{1}{2} \mathbf{v}^{eT} \mathbf{K}^e \mathbf{v}^e$$

$$\Pi_b = \sum_e \Pi^e = \frac{1}{2} \mathbf{q}_b^T \mathbf{K}_b \mathbf{q}_b$$

$$\mathbf{K}_b = \begin{bmatrix} \mathbf{0} & \mathbf{0} & \mathbf{0} \\ \text{sym} & & \mathbf{K}_v \end{bmatrix}$$



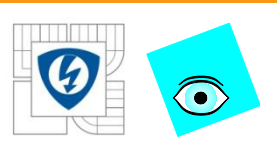
Pohybové rovnice soustavy poddajných těles

$$\begin{aligned}\delta W &= \mathbf{F}_C^{eT} \delta \mathbf{r}_C = \mathbf{F}_C^{eT} (\delta \mathbf{r}_0 + \mathbf{B}^e \delta \varphi + \mathbf{S}\mathbf{N} \delta \mathbf{v}^e) = \\ &= [\mathbf{F}_C^{eT}, \mathbf{F}_C^{eT} \mathbf{B}^e, \mathbf{F}_C^{eT} \mathbf{S}\mathbf{N}] \begin{bmatrix} \delta \mathbf{r}_0 \\ \delta \varphi \\ \delta \mathbf{v}^e \end{bmatrix}\end{aligned}$$

$$\begin{aligned}\mathbf{Q}^e &= \left[\sum_C \mathbf{F}_C^{eT}, \sum_C \mathbf{F}_C^{eT} \mathbf{B}^e, \sum_C \mathbf{F}_C^{eT} \mathbf{S}\mathbf{N} \right] = \\ &= [\mathbf{Q}_r^e, \mathbf{Q}_\varphi^e, \mathbf{Q}_{v^e}^e]\end{aligned}$$

$$\mathbf{Q}_b = [\mathbf{Q}_r, \mathbf{Q}_\varphi, \mathbf{Q}_v]$$

$$\mathbf{Q}_r = \sum_e \mathbf{Q}_r^e, \quad \mathbf{Q}_\varphi = \sum_e \mathbf{Q}_\varphi^e, \quad \mathbf{Q}_v = \sum_e \mathbf{Q}_{v^e}^e$$



Pohybové rovnice soustavy poddajných těles

$$\mathbf{M}_b \ddot{\mathbf{q}}_b + \dot{\mathbf{M}}_b \dot{\mathbf{q}}_b + \mathbf{K}_b \mathbf{q}_b + \mathbf{c}_b = \mathbf{Q}_b$$

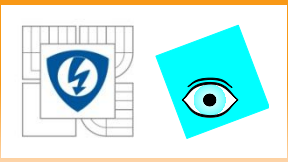
$$\mathbf{c}_b = [\mathbf{0}, \mathbf{c}_{b\varphi}, \mathbf{c}_{bv}]$$

$$\mathbf{r}_{1i} + \mathbf{S}_{1i} \mathbf{r}_{iA} - \mathbf{r}_{1j} - \mathbf{S}_{1j} \mathbf{r}_{jA} = \mathbf{0}$$

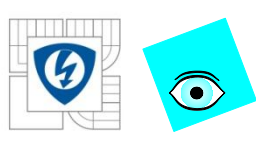
$$\mathbf{r}_{1i} + \mathbf{S}_{1i} \mathbf{N}(\mathbf{V}^e + \mathbf{v}^e)_{A_i} - \mathbf{r}_{1j} - \mathbf{S}_{1j} \mathbf{N}(\mathbf{V}^e + \mathbf{v}^e)_{A_j} = \mathbf{0}$$

$$\mathbf{u} = \Psi \xi$$

Řešení inverzní dynamické úlohy



- Velký význam pro robotiku
- Iniciovalo vývoj efektivních formalismů
- Řešení zlepšeno 5x
- Standardně pro robotické systémy se sériovou strukturou
- Pro robotické systémy s paralelní strukturou je podstatně obtížnější a je stále předmětem výzkumu



- Rekurzivní formalismus standardní

$$\mathbf{f}_{i-1} = \mathbf{A}_{i-1}^{-1}(\mathbf{b}_{i-1} - \mathbf{A}_i \mathbf{f}_i), \quad i = 2, 3, \dots, n + 1$$

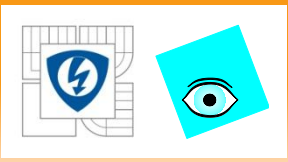
$$\mathbf{v}_{i+1,1,i+1} = \mathbf{S}_{i+1,i} \mathbf{v}_{i,1i} + \mathbf{\Omega}_{i+1,i,i+1} \mathbf{r}_{i,i+1}$$

$$\boldsymbol{\omega}_{i+1,1,i+1} = \mathbf{S}_{i+1,i} \boldsymbol{\omega}_{i,1i} + \boldsymbol{\omega}_{i+1,i,i+1}$$

$$\mathbf{a}_{i+1,1,i+1} = \mathbf{S}_{i+1,i} \mathbf{a}_{i,1i} + \mathbf{S}_{i+1,i} \mathbf{\Omega}_{i+1,i,i+1} \mathbf{v}_{i,1i} + \mathcal{A}_{i+1,1,i+1} \mathbf{r}_{i,i+1}$$

$$\boldsymbol{\alpha}_{i+1,1,i+1} = \mathbf{S}_{i+1,i} \boldsymbol{\alpha}_{i,1i} + \boldsymbol{\alpha}_{i+1,i,i+1}$$

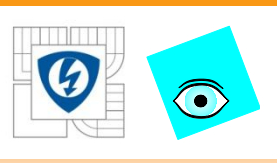
$$\mathbf{F}_j = \begin{bmatrix} \mathbf{E} & \mathbf{0} \\ \tilde{\mathbf{d}}_j & \mathbf{E} \end{bmatrix} (-\mathbf{I}_j^S \mathbf{a}_j^S + \mathbf{F}_j^S + \boldsymbol{\beta}_j^S)$$



- Rekurzivní formalismus z přímé dynamiky

$$\mathbf{M}\ddot{\mathbf{q}} = \mathbf{Q} + \boldsymbol{\chi}$$

$$\boldsymbol{\chi} = (\mathbf{M}\ddot{\mathbf{q}} - \mathbf{Q}) = - \left[\sum_i \left(\left(\frac{\partial \mathbf{v}_i^H}{\partial \dot{s}_j} \right)^T (-\mathbf{I}_i^H \mathbf{a}_i^H + \mathbf{F}_i^H + \boldsymbol{\beta}_i^H) \right) \right]$$



Řešení inverzní dynamické úlohy

- Vývoj efektivity řešení
- Obecně sériový robot n kloubů (násobení):
- n^4 , 412n-577 (LE), 150n-48 (N-E), 130n-68 (A), 97n-112 (C)
- Stanford arm: 646 (N-E), 298 (LE), 171 (C)